



บรรณานุกรม

1. Mc Cormick and Y. Paul, "The key to drying solids", Chemical Engineering, August 15, 113-122, 1988.
2. กมลรัตน์ พันธุ์อารยะ, "เทคนิคการสลับทิศทางการไหลของลมร้อนในเครื่องอบแห้งแบบไหลผ่านเพื่อผลผลิตสูงสุด", วิทยานิพนธ์ปริญญาโทบัณฑิต ภาควิชาวิศวกรรมเคมี บัณฑิตวิทยาลัย จุฬาลงกรณ์มหาวิทยาลัย, 2528.
3. Henderson, J. M. and S. M. Henderson, "A computer procedure for deep-bed drying", J. agric. Engng Res., 13 (2), 1299-1308, 1968.
4. Keey, R. B., "Batch Drying with Air Recirculation", Chem. Eng. Sci. 23, 1299-1308, 1968.
5. Chhinnan, M. S. and J. H. Young, "Computer simulation of bulk drying of peanut pods", Pap ASAE for Summer Meet, 70-3032, St. Joseph, 1976.
6. Lai, F. S. and E. Hague, "Three-dimensional flow of air through nonuniform grain beds", Pap ASAE for Winter Meet, 76-3529, 1976.
7. Agrawal, Y. C. and P. R. Singh, "Thin-layer drying studies on short grain rough-rice", Pap ASAE for Winter Meet, 77-3531, St. Joseph, 1978.
8. Gonzalo, R., R. Fioreze, S. J. Rossi and L. Villa, "Dynamic estimation of thin layer drying parameters", Pap ASAE for Winter Meet, 77-3530, St. Joseph, 1978.
9. Parti, M., "Transport processes in packed beds", First International drying symposium (Mujumdar, A.), pp. 160-167, 1978.
10. Wang, G. Y. and R. P. Singh, "Single layer drying equation for rough rice", Pap ASAE for Summer Meet, 78-3001, St. Joseph, 1978.
11. Balazs, T., "Determination of the average heat and mass transfer coefficients for through-flow drying", Period Polytech Mech Eng, 23 (1), 29-39, 1979.

12. Hasatani, M. and N. Arai, "Unsteady heat and mass transfer in a packed bed of fine particles with an endothermic process", Drying '80 (Mujumdar, A.), vol.2, pp. 163-169, Hemisphere, Washington, D.C., 1980.
13. Misra, M. K. and D. B. Brooker, "Thin-layer drying and rewetting equations for shelled yellow corn", Pap. ASAE for Presentation at Jt ASAE and CSAE Summer Meet, 79-3041, St. Joseph, 1979.
14. Parti, M., "Heat and mass transfer in packed beds", Drying '80 (Mujumdar, A.), vol.2, pp. 219-223, Hemisphere, Washington, D.C., 1980.
15. Davilla, S. I., L. H. Chen and G. B. Welch, "Simulation model for reverse direction of air flow drying of rough-rice", Transactions of ASAE, 26 (6), 1842-1848, 1983.
16. Hallstroem, A. and R. Wimmerstredt, "Drying of porous granular materials", Chem. Eng. Sci., 38 (9), 1507-1516, 1983.
17. Toei, R., "Calculation of through-flow drying time using charts", Kagaku Kagaku, 47 (11), 726-729, 1983.
18. Morey, R. V. and H. Li, "Thin-layer equation effects on deep-bed drying prediction", Transactions of ASAE, 27 (6), 1924-1928, 1984.
19. Rajan, T. S. and S. H. Ibrahim, "On drying of materials in through circulation system", Drying '84 (Mujumdar, A.), pp. 110-116, Hemisphere, Washington, D.C., 1984.
20. Syareif, A. M., R. V. Morey and R. J. Gustafson, "Thin-layer drying rates of sunflower seed", Transactions of ASAE, 27 (1), 195-200, 1984.
21. Palancz, B., "Modelling and simulation of heat and mass transfer in a packed bed of solid particles having high diffusion resistance", Computer and Chemical Engineering, 9 (6), 567-581, 1985.

22. Zuritz, C. A. and P. R. Singh, "Equation to compute the heat of evaporation of water for rough rice during drying", Drying Technology, 3, pp. 421-435, 1985.
23. Nishiyama, Y., "Grain drying simulation by the sphere drying model", Drying Solids (Mujumdar, A.), pp. 102-108, Wiley Eastern Ltd., New Delhi, 1986.
24. Bala, B. K. and J. L. Woods, "Thin layer drying of malt", Drying '88 (Mujumdar, A.), pp. 43-48, 1988.
25. Rattanpant, O., A. Lebert, J. Laguerre and J. Bimbenet, "Simulation of deep bed drying of particles", Drying '88 (Mujumdar, A.), pp. 565-572, 1988.
26. Sokhansanj, S. and S. Cenkowski, "Equipment and methods of thin layer drying, A review", Drying '88 (Mujumdar, A.), pp. 159-170, 1988.
27. Chirife, J. and R. A. Cachero, "Through-circulation drying of tapioca root", J. Food Science, 35, 364-368, 1970.
28. Shanokprasith, S. and S. Bunrungsanor, "Through-circulation drying of freshly harvested paddy", Senior project, Department of Chemical Technology, Graduate School, Chulalongkorn University, 1978.
29. Rusmitus, S., "Study of variables effecting drying rate of tapioca chips", Master Thesis, Department of Chemical Technology, Graduate School, Chulalongkorn University, 1978.
30. Chakraverty, A. and M. L. Jain, "Thin layer drying characteristics of cashew nuts and cashew kernals", Drying '84, pp. 396-400, Hemisphere, Washington, D.C., 1984.
31. Tanthapanichakoon, W. and T. Loychirakul, "Through flow drying characteristics of some thai fruits", International drying symposium (Toei, R.), pp. 591-596, 1984.
32. Young, J. H. and J. W. Dickens, "Evaluation of costs for drying grain in batch or cross-flow systems", Transactions of ASAE, 18 (4), 734-739, 1975.

33. Bashi, A. S., R. P. Singh, C. Y. Wang and J. F. Steffe, "Energy costs of a conventinal and air recycling cross flow rice dryer", Pap ASAE for Summer Meet, 78-3011, St. Joseph, 1978.
34. Ashworth, J.C. and J.W. Carter, "The performance of convective dryers as a function of energy efficiency capital cost and solid residence time", Drying '80 (Mujumdar, A.), pp. 293-303, Hemisphere, Washington, D.C., 1980.
35. Poole, W. H. and J. R. Thygeson, Jr., "The impact of energy conservation principles on dryer performance", Drying '80 (Mujumdar, A.), (1), pp. 308-313, 1980.
36. Mc Gaw, D. R., H. Farabi and J. Ibrahim, "The optimisation of batch operated packed bed dryers for the drying of tropical agricultural products", International drying symposium (Toei, R.), pp. 616-619, 1984.
37. Lower, O. J. and T. C. Bridges, "Economics of stirring devices in grain drying", Transactions of ASAE (Gen Ed), 27 (2), 603-608, 1984.
38. Kulshrehtha, M., S. K. Mehra and S. Kumar, "Simulation and nomographic representation of energy requirements in fixed deep bed drying of paddy", Drying '86 (Mujumdar, A.), pp. 547-552, 1986.
39. Kulshrehtha, M., R. D. Singh and S. K. Srivastava, "Grain drying with intermittent heated air - A simulation approach", Drying '88 (Mujumdar, A.), pp. 65-67, 1988.
40. Tanthapanichakoon, W., K. Parnaraya and T. Loychirakul, "Modeling and optimum condition of a through-flow dryer", Drying '86, pp. 142-147, 1986.
41. Tanthapanichakoon, W. and C. Cheanmingkwan, "Computer simulation of effects of exhaust air recycling on the performance of a batch through-flow dryer", Drying '88 (Mujumdar, A.), pp. 583-587, 1988.

42. Nissan, A. H. and H. D. Macmurray, "Chemical Engineering Practice", (Cremer, H. W. and S. B. Watkins), vol.7, pp. 269-379, Butterworth, London, 1963.
43. เรียวโซ โทเอ, "อุปกรณ์อบแห้งในอุตสาหกรรม", พิมพ์ครั้งที่ 2 , pp. 85-92, สมาคมเทคโนโลยีไทย-ญี่ปุ่น, 1984.
44. Foust, A. S., L. A. Wenzel, C. W. Clump, L. Maus and L. B. Anderson, "Principles of Unit Operations", chsp. 18, John Wiley & Sons, USA., 2nd ed., 1980.
45. Mc. Cormick, P. Y., "Encyclopedia of chemical Technology", (Grayson, M. and D. Eckroth), vol. 8, pp. 75-113, John Wiley & Sons, USA., 3rd ed., 1979.
46. Keey, R. B., "Introduction to Industrial Drying Operations", chap. 8, Pergamon Press, Oxford, 1978.
47. Brooker, D. B., F. W. Bakker-Arkema and C. W. Hall, "Drying Cereal Grains", chap. 8, AVI pub., Westport, 1974.
48. สมชาติ โสภณรณฤทธิ์, "การอบแห้งเมล็ดพืชและอาหาร", สถาบันเทคโนโลยีพระจอมเกล้าธนบุรี, พิมพ์ครั้งที่ 3, ตค. 2529.
49. Perry, R. H. and D. Green, "Perry's Chemical Engineers' Handbook", chap. 3, 12, 20, Mc Graw-Hill, 6th ed., 1983.
50. Weiss, Albert, "Algorithms for the calculation of moist air properties on a hand calculator", Transactions of ASAE, 1133-1136, 1977.
51. Wilhelm, L. R., "Numerical calculation of psychrometric properties in S. I. units", Transactions of ASAE, 19, 318-325, 1976.
52. Chua, Khe V., "Some new empirical equations for properties of moist air", Transactions of ASAE, 25, 1266-1271, 1980.
53. Keeping, E. S., "Introduction to Statistical Inference", p. 424, Van Nostrand Reinhold Company, Holland, 1962.
54. Akhtar, J., "Drying of cassava chips with heated air", Master Thesis, Department of Agricultural Engineering, A.I.T., 1978.
55. กรมวิชาการเกษตร, "ข้าวโหด", เอกสารวิชาการ, 4, กระทรวงเกษตรและสหกรณ์ งานทะเบียน และประมวลผล กองแผนงาน, 2524.

56. Sinnott, R. K., "Chemical Engineering", vol. 6, Pergamon Press, Great Britain, 1979.
57. Geankoplis, C. J., "Transport Process and Unit Operations", chap. 7, Allyn and Bacon, Inc., Boston, 1978.
58. Ludwig, E. E., "Applied Process Design for Chemical and Petrochemical Plants", vol. 3, p. 53, Gulf Publishing Company, Houston, 2nd ed., 1980.
59. Razjevic, K., "Handbook of Thermodynamic Tables and Charts", pp. 240-242, Hemisphere Publishing Corporation, 1976.
69. Hall, C. W., "Drying and Storage of Agricultural Crops", chap. 6, AVI Pub., Westport, 1980.
61. Cooks, E.M. and H.D. DuMont, "New ideas to improve dryer performance", Chemical Engineering, May 9, 70-78, 1988.
62. Charm, S. E., "Fundamental of Food Engineering", chap. 8, AVI pub., Westport, 2nd ed., 1971.
63. Treybal, R. E., "Mass - Transfer Operatiobs", chap. 12, Mc Graw-Hill, Tokyo, 3rd ed., 1982.
64. Barre, H.J., G.R. Baughman and M.Y. Hamdy, "Application of logarithmic model to cross-flow deep-bed grain drying", Transactions of ASAE, 14, 1061-1064, 1971.
65. Baughman, G.R., M.Y. Hamdy and H.J. Barre, "Analog computer simulation of deep-bed drying of grain", Transactions of ASAE, 14, 1058 - 1060, 1971.
66. Young, J. H. and J. W. Dicken, "Evaluation of costs for drying grain in batch or cross-flow systems", Transactions of ASAE, 5, 734-739, 1975.
67. Hossain, S. S. M., "Thermal properties of cassava roots and chips", Master Thesis, Department of Agricultural Engineering, A.I.T., 1978.
68. Roberts, D. E. and D. B. Brooker, "Grain drying with a recirculator", Transactions of ASAE, 18, 181-184, 1975.

69. Nonhebel, G. and A. A. H. Moss, "Drying of Solids in the Chemical Industry", Butterworth & Co. Ltd., London, chap. 1-3, 1971.



ศูนย์วิทยทรัพยากร
จุฬาลงกรณ์มหาวิทยาลัย



ภาคผนวก

ศูนย์วิจัยทรัพยากร
จุฬาลงกรณ์มหาวิทยาลัย

ภาคผนวก ก

โดยทั่วไปแล้วค่าคุณสมบัติต่างๆของอากาศชั้นที่อุณหภูมิต่างๆ เช่น ความดันไออิ่มตัวของน้ำ ความชื้นสัมบูรณ์อิ่มตัวของอากาศชั้น ความร้อนแฝงของการระเหยของน้ำ ปริมาตรจำเพาะของอากาศชั้น อุณหภูมิกระเปาะเปียกของอากาศชั้น เป็นต้น สามารถหาได้จากตารางไซโครเมตริก หรือจากแผนภาพไซโครเมตริกในหนังสือคู่มือ (handbook) ต่างๆ แต่แบบจำลองคณิตศาสตร์ของการอบแห้งแบบไหลผ่านในวิทยานิพนธ์นี้เป็นแบบจำลองคำนวณเชิงตัวเลขจึงจำเป็นต้องอาศัยสหสัมพันธ์ต่างๆ มาทำนายคุณสมบัติต่างๆของอากาศชั้นที่อุณหภูมิต่างๆ

คุณสมบัติของอากาศชั้นที่อุณหภูมิต่างๆที่ใช้ในแบบจำลอง คือ

- 1 ความดันไออิ่มตัวของน้ำที่อุณหภูมิต่างๆ
- 2 ความชื้นสัมบูรณ์อิ่มตัวของอากาศชั้น
- 3 ความร้อนแฝงของการระเหยน้ำที่อุณหภูมิต่างๆ
- 4 ปริมาตรจำเพาะของอากาศชั้น และความหนาแน่นของอากาศชั้น

สำหรับรายละเอียดอื่นจะได้กล่าวถึงต่อไป

ศูนย์วิทยทรัพยากร
จุฬาลงกรณ์มหาวิทยาลัย

ภาคผนวก ก.1

ความดันไออิ่มตัวของน้ำที่อุณหภูมิต่างๆ

จากอดีตจนถึงปัจจุบันมีคนเสนอสมการทำนายมากมาย อย่างเช่น ปี ค.ศ. 1930 Teten (50) เสนอสมการทำนายเฟสของน้ำบริสุทธิ์ในอากาศชื้นในช่วง 0-100 °ซ, ปี ค.ศ.1946 Goff และ Gratch (50,51) ได้เสนอสมการทำนายความดันไอของน้ำในอากาศชื้น โดยคำนึงถึงแรงกระทำระหว่างโมเลกุลในอากาศชื้นด้วย (คำนึงว่าอากาศชื้นไม่ใช่ก๊าซผสมในอุดมคติ) ในช่วง 0-100 °ซ, ในปี ค.ศ.1971 Wexler และ Greenspan (50,52) ได้เสนอสมการทำนายในช่วง 0-100 °ซ และในปี ค.ศ.1976 สมาคม ASAE (47,52) ได้เสนอสมการทำนาย (อาจรู้จักในนามของแบบจำลองของ Lerew (1972)) ในช่วง -17.78 -260 °ซ (ซึ่งเป็นสมการที่ใช้ในแบบจำลองนี้), ASHRAE(1977), ASAE(1978) และอื่นๆอีก เป็นต้น

ในวิทยานิพนธ์นี้ใช้สมการของสมาคม ASAE ในปี ค.ศ. 1976 เพียงอย่างเดียว ดังนี้คือ

ในช่วง -17.78 - 0 °ซ (459.69 - 491.69 °R) :

$$\ln(P_g) = 23.3924 - (11286.6489/T_R) - 0.460571\ln(T_R) \quad (1)$$

ในช่วง 0 - 260 °ซ (491.69 - 959.69 °R) :

$$\ln(P_g/3206.18) = \frac{(-27405.5 + 54.1896T_R - 0.04513T_R^2 + 0.215321 \times 10^{-4}T_R^3 - 0.462027 \times 10^{-8}T_R^4)}{(2.41613T_R - 0.00121547T_R^2)} \quad (2)$$

ในสมการข้างต้น T_R มีหน่วยเป็น °R และ P_g มีหน่วยเป็น psia

ภาคผนวก ก.2

ความชื้นสัมบูรณ์อิ่มตัว ของอากาศชื้น

แบบจำลองนี้ใช้สมมติฐานว่า อากาศชื้นเป็นก๊าซผสมในอุดมคติ และใช้สมการของก๊าซในอุดมคติมาคำนวณ

$$H_g = 0.62198 * P_g / (P_T - P_g) \quad (3)$$

สมการนี้ใช้ได้ในช่วงของความดันย่อยอิ่มตัวของน้ำตั้งแต่ 0-14.696 psia (0-760 mmHg) เท่านั้น

โดยที่ P_T เป็นความดันรวมเท่ากับ 14.696 psia,

P_g เป็นความดันไออิ่มตัว (หน่วย psia) หรือ mmHg และ

H_g มีหน่วยเป็น กิโลกรัมไอน้ำต่อกิโลกรัมของอากาศแห้ง

ผลที่ได้จากการคำนวณความสมการข้างบนมีเปรียบเทียบกับค่าใน handbook

คังแสดงในตาราง ก.1

ศูนย์วิทยทรัพยากร
จุฬาลงกรณ์มหาวิทยาลัย

ภาคผนวก ก.3

ความร้อนแฝงของการระเหยน้ำที่อุณหภูมิต่างๆ

สมการทำนายความร้อนแฝงที่ใช้ในแบบจำลองนี้ เป็นของสมาคม ASAE ปี
 ก.ศ. 1976 ซึ่งสามารถใช้ได้ในช่วง $-17.78-260^{\circ}\text{C}$ ($459.69-959.69^{\circ}\text{R}$) ดังนี้

ช่วง $-17.78 - 0^{\circ}\text{C}$ ($459.69 - 491.69^{\circ}\text{R}$) :

$$h_{sg} = 1220.844 - 0.05077 \times (T_R - 459.69) \quad (4)$$

ช่วง $0 - 65.56^{\circ}\text{C}$ ($491.69 - 609.69^{\circ}\text{R}$) :

$$h_{fg} = 1075.8965 - 0.56983 \times (T_R - 491.69) \quad (5)$$

ช่วง $65.56 - 260^{\circ}\text{C}$ ($609.69 - 959.69^{\circ}\text{R}$) :

$$h_{fg} = (1354673.214 - 0.9125275587 \times T_R^2)^{1/2} \quad (6)$$

สมการข้างบนนี้ใช้โมเลกุลในสับริทิน LHVP การเปรียบเทียบกับค่าที่ได้จาก
 ตาราง steam table ของ handbook มีแสดงในตาราง ก.1

หน่วยของความร้อนแฝงของการระเหยคือ Btu/lb-steam

ศูนย์วิทยทรัพยากร
 จุฬาลงกรณ์มหาวิทยาลัย

ภาคผนวก ก.4

ปริมาณจำเพาะของอากาศชื้น และความหนาแน่นของอากาศชื้น

จากสมมติฐานที่ว่าอากาศชื้นเป็นของผสมในอุดมคติ (ก๊าซในอุดมคติ) ปริมาณจำเพาะของอากาศชื้นสามารถหาได้จาก

$$V_H = 22.4(273+T_A)(18+29*H)/(273*18*29) \quad (7)$$

ในที่นี้ T จะมีหน่วยเป็น $^{\circ}K$ และ H มีหน่วยเป็น $kg\text{-steam}/kg\text{-dry air}$
 ตาราง ก.1 เปรียบเทียบค่าของปริมาณจำเพาะของอากาศชื้นที่คำนวณได้จากสมการข้างบนกับค่าที่ได้จาก (47,59)

ส่วนค่าของความหนาแน่นของอากาศแห้งสามารถคำนวณได้จาก

$$\rho_{air} = (1+H)/V_H \quad (8)$$

โดยที่ ρ_{air} มีหน่วยเป็น $kg\text{-dry air}/m^3$

ในตาราง ก.1 เปรียบเทียบค่าของความดันไออิ่มตัวของน้ำในอากาศชื้น, ค่าของความชื้นสัมบูรณ์ไออิ่มตัว, ค่าความร้อนแฝงของการระเหยน้ำ, ปริมาณจำเพาะของอากาศชื้น และความหนาแน่นของอากาศแห้ง (จากสมการ 7) กับค่าที่ได้จาก Handbook (47,59)

ศูนย์วิทยทรัพยากร
 จุฬาลงกรณ์มหาวิทยาลัย

ตาราง ก.1 ตารางไซโครเมตริก (Psychrometric Table) เปรียบเทียบ
ระหว่างค่าของความชื้นไอน้ำอิ่มตัว, ความชื้นสัมบูรณ์ และความร้อนแฝงของการระเหยน้ำ กับ
อุณหภูมิของอากาศชื้นที่มิวเลคได้จากสัรฐ์ RCZHS และ LHVP กับค่าที่ได้จาก Handbook ตาม
ลำดับ ในช่วง 0-100 °C (ผิดพลาดไม่เกิน 0.3%)

TEMP. (C)	HANDBOOK		HANDBOOK			FROM ASAE EQ. (1976)		
	PS (MM. HG)	HS (-)	PS (MM. HG)	HS (-)	HFO [*] (KCAL/KG)	PS (MM. HG)	HS (-)	HFO (KCAL/KG)
0	4.579	0.003770	4.5811	0.00378	597.3	4.6126	0.003798	597.72
1	4.928	0.004058	4.9238	0.00407	596.7	4.9426	0.004072	597.15
2	5.294	0.004363	5.2909	0.00437	596.2	5.3099	0.004376	596.58
3	5.685	0.004688	5.6807	0.00470	595.6	5.7011	0.004701	596.01
4	6.101	0.005034	6.0970	0.00503	595.1	6.1176	0.005047	595.44
5	6.545	0.005401	6.5391	0.00540	594.5	6.5608	0.005416	594.87
6	7.013	0.005793	7.0099	0.00570	593.9	7.0322	0.005809	594.30
7	7.513	0.006210	7.5101	0.00621	593.4	7.5332	0.006227	593.73
8	8.045	0.006655	8.0411	0.00665	592.8	8.0655	0.006672	593.16
9	8.609	0.007126	8.6053	0.00713	592.3	8.6308	0.007145	592.59
10	9.209	0.007629	9.2041	0.00763	591.7	9.2307	0.007647	592.02
11	9.844	0.008162	9.8388	0.00805	591.2	9.8670	0.008181	591.45
12	10.518	0.008729	10.512	0.00875	590.6	10.5417	0.008749	590.88
13	11.231	0.009330	11.225	0.00935	590.1	11.2567	0.009351	590.31
14	11.987	0.009968	11.982	0.00997	589.5	12.0140	0.009990	589.74
15	12.788	0.010645	12.781	0.0106	588.9	12.8166	0.010668	589.17
16	13.634	0.011362	13.628	0.0114	588.3	13.6640	0.011367	588.60
17	14.530	0.012123	14.524	0.0121	587.7	14.5612	0.012150	588.03
18	15.477	0.012930	15.093	0.0129	587.1	15.5097	0.012956	587.46
19	16.477	0.013784	16.469	0.0138	586.6	16.5120	0.013813	586.89
20	17.535	0.014690	17.528	0.0147	586.0	17.5706	0.014720	586.32
21	18.650	0.015648	18.639	0.0156	585.4	18.6881	0.015680	585.75
22	19.827	0.016662	19.816	0.0166	584.9	19.8673	0.016696	585.18
23	21.068	0.017734	21.059	0.0177	584.3	21.1111	0.017771	584.61
24	22.377	0.018869	22.368	0.0188	583.8	22.4224	0.018806	584.04
25	23.756	0.020070	23.751	0.0200	583.2	23.8043	0.020111	583.47
26	25.209	0.021339	25.200	0.0214	582.6	25.2599	0.021383	582.90
27	26.739	0.022682	26.730	0.0226	582.1	26.7926	0.022728	582.33
28	28.349	0.024100	28.341	0.0240	581.5	28.4057	0.024150	581.77
29	30.043	0.025600	30.033	0.0256	581.0	30.1027	0.025652	581.20
30	31.824	0.027184	31.813	0.0272	580.4	31.8874	0.027239	580.63

TEMP. (C)	HANDBOOK		HANDBOOK			FROM ASAE EQ. (1976)		
	PS (MM. HG)	HS (-)	PS (MM. HG)	HS (-)	HFO (KCAL/KG)	PS (MM. HG)	HS (-)	HFO (KCAL/KG)
31	33.695	0.028856	33.689	0.0288	579.9	33.7633	0.028916	580.06
32	35.663	0.030624	35.653	0.0306	579.3	35.7344	0.030688	579.49
33	37.729	0.032491	37.719	0.0315	578.7	37.8048	0.032559	578.02
34	39.898	0.034462	39.889	0.0344	578.2	39.9785	0.034535	578.35
35	42.175	0.036545	42.170	0.0366	577.6	42.2598	0.036622	577.78
36	44.563	0.038743	44.553	0.0388	577.0	44.6531	0.038825	577.21
37	47.067	0.041064	47.061	0.0411	576.5	47.1629	0.041152	576.64
38	49.692	0.043514	49.687	0.0435	575.9	49.7039	0.043608	576.07
39	52.442	0.046101	52.438	0.0460	575.3	52.5510	0.046202	575.50
40	55.324	0.048833	55.314	0.0488	574.7	55.4392	0.048941	574.93
41	58.340	0.051720	58.330	0.0517	574.1	58.4630	0.051833	574.36
42	61.500	0.054760	61.493	0.0548	573.5	61.6290	0.054888	573.79
43	64.800	0.057980	64.795	0.0580	572.9	64.9413	0.058113	573.22
44	68.260	0.061380	68.253	0.0613	572.4	68.4057	0.061520	572.65
45	71.880	0.064970	71.871	0.0650	571.8	72.0288	0.065120	572.08
46	75.650	0.068760	75.645	0.0689	571.3	75.8154	0.068922	571.51
47	79.600	0.072770	79.595	0.0728	570.7	79.7721	0.072941	570.94
48	83.710	0.076990	83.721	0.0770	570.1	83.9051	0.077190	570.37
49	88.020	0.081470	88.024	0.0815	569.6	88.2212	0.081681	569.80
50	92.510	0.086200	92.519	0.0862	569.0	92.7261	0.086432	569.23
51	97.200	0.091220	97.212	0.0913	568.4	97.4270	0.091458	568.66
52	102.090	0.096520	102.103	0.0966	567.8	102.3306	0.096778	568.09
53	107.200	0.102140	107.208	0.102	567.3	107.4446	0.102410	567.52
54	112.510	0.108080	112.526	0.108	566.7	112.7754	0.108377	566.95
55	118.040	0.114370	118.065	0.114	566.1	118.3311	0.114700	566.38
56	123.800	0.121050	123.831	0.121	565.5	124.1190	0.121406	565.81
57	129.820	0.128140	129.848	0.128	565.0	130.1474	0.128521	565.24
58	136.080	0.135660	136.108	0.136	564.4	136.4240	0.136075	564.67
59	142.600	0.143660	142.625	0.144	563.8	142.9506	0.144101	564.10
60	149.380	0.152100	149.392	0.152	563.2	149.7545	0.152634	563.53
61	156.430	0.161210	156.453	0.161	562.6	156.8260	0.161715	562.96
62	163.770	0.170850	163.809	0.171	562.0	164.1793	0.171388	562.39
63	171.380	0.181100	171.385	0.181	561.4	171.8243	0.181700	561.82
64	179.310	0.192070	179.329	0.192	560.8	179.7698	0.192705	561.25
65	187.540	0.203770	187.568	0.204	560.2	188.0255	0.204464	560.68
66	196.090	0.216290	196.100	0.216	559.6	196.6004	0.217042	559.69

TEMP. (C)	HANDBOOK		HANDBOOK			FROM ASAE EQ. (1976)		
	PS (MM. HG)	HS (-)	PS (MM. HG)	HS (-)	HFO (KCAL/KG)	PS (MM. HG)	HS (-)	HFO (KCAL/KG)
67	204.960	0.229690	205.000	0.230	559.1	205.5051	0.230516	559.04
68	214.170	0.244060	214.195	0.244	558.5	214.7496	0.244970	558.48
69	223.730	0.259500	223.757	0.259	557.9	224.3438	0.260498	557.92
70	233.700	0.276200	233.687	0.276	557.3	234.2983	0.277208	557.36
71	243.900	0.293950	243.985	0.294	556.7	244.6242	0.295224	556.80
72	254.600	0.313340	254.724	0.314	556.1	255.3323	0.314685	556.23
73	265.700	0.334340	265.756	0.335	555.5	266.4334	0.335753	555.66
74	277.200	0.357120	277.232	0.357	554.9	277.9394	0.358612	555.10
75	289.100	0.381660	289.148	0.382	554.3	289.8617	0.383480	554.52
76	301.400	0.408790	301.432	0.408	553.7	302.2127	0.410606	553.95
77	314.100	0.438150	314.231	0.437	553.1	315.0039	0.440287	553.37
78	327.300	0.470490	327.397	0.470	552.5	328.2475	0.472872	552.79
79	341.000	0.506210	341.079	0.508	551.9	341.9568	0.508776	552.21
80	355.100	0.545500	355.202	0.545	551.3	356.1440	0.548499	551.63
81	369.700	0.589170	369.839	0.589	550.7	370.8227	0.592645	551.05
82	384.900	0.638250	384.992	0.639	550.1	386.0056	0.641956	550.46
83	400.000	0.693310	400.659	0.695	549.5	401.7068	0.697344	549.87
84	416.800	0.755390	416.841	0.756	548.9	417.9400	0.759954	549.28
85	433.600	0.826280	433.539	0.828	548.3	434.7189	0.831230	548.68
86	450.000	0.907340	450.824	0.908	547.7	452.0570	0.913064	548.08
87	468.700	1.000800	468.698	1.000	547.1	469.9718	1.007880	547.49
88	487.100	1.110200	487.161	1.110	546.4	488.4753	1.118950	546.88
89	506.100	1.239800	506.212	1.240	545.8	507.5834	1.250740	546.28
90	525.700	1.396100	525.851	1.400	545.2	527.3005	1.409510	545.67
91	545.050	1.587500	546.153	1.500	544.6	547.6747	1.604350	545.07
92	566.900	1.827200	567.116	1.830	543.9	568.6916	1.848900	544.45
93	588.600	2.136000	588.742	2.135	543.3	590.3704	2.164740	543.84
94	610.900	2.548500	611.029	2.546	542.7	612.7371	2.587980	543.23
95	633.900	3.126300	633.079	3.120	542.1	635.8070	3.184160	542.61
96	657.820	3.995300	657.737	3.090	541.5	659.5855	4.085670	541.99
97	682.070	5.444000	682.158	5.450	540.9	684.1034	5.606490	541.36
98	707.270	8.342900	707.314	8.350	540.3	709.3764	8.715460	540.74
99	733.240	17.043000	733.279	17.000	539.6	735.4148	18.604700	540.11
100	-----	-----	759.907	-----	539.0	762.2392	****	539.48

* ข้อมูลจากตาราง Steam table

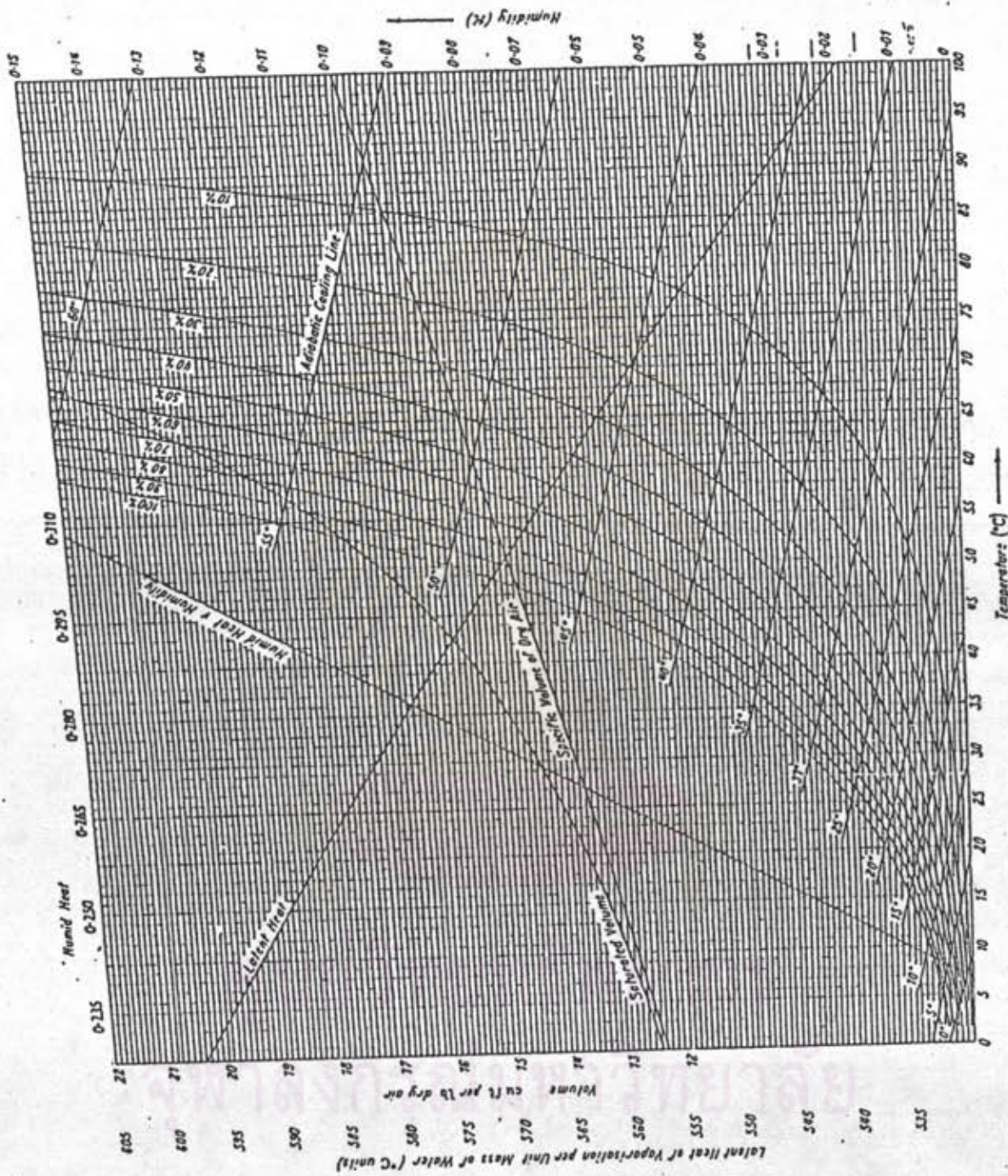


Fig. 10.3. Humidity-temperature diagram for absolute vapor systems at atmospheric pressure

รูปที่ ก.1 แผนภูมิไซโครเมตริก (Psychrometric chart) ของความชื้นกับอุณหภูมิ สำหรับระบบ อากาศกับน้ำ ที่ความดันบรรยากาศ

ภาคผนวก ข

ตัวอย่างการคำนวณค่าพื้นที่ผิวจำเพาะเชิงปริมาตรของวัสดุ

ภาคผนวกนี้จะแสดง ขั้นตอนการคำนวณค่าพื้นที่ผิวจำเพาะเชิงปริมาตรของวัสดุที่ได้จากการทดลองกับผลจากทฤษฎี ในการอบแห้งมันสำปะหลัง หนา 40 ซม. กรณีการอบแห้งปกติ เงื่อนไขของการทดลองการอบแห้ง เป็นดังนี้ คือ

วัสดุ : มันสำปะหลังขนาด 0.5 x 0.5 x 0.3 ซม.

อุณหภูมิเข้าของลมร้อน	65	°ซ
ความเร็วลมร้อน	0.6	m/s
ความชื้นของลมร้อน	0.018	kg-water/kg dry air
อัตราส่วนช่องว่าง	0.768	
ความหนาแน่นจริงของวัสดุ	924	kg/m ³
เส้นผ่าศูนย์กลางสมมูล	0.409×10^{-2}	m
ความชื้นแรกเริ่ม	1.68	d.b.
ความชื้นสมดุล	0	d.b.
ค่าพื้นที่สมมูลย์	$a = \frac{6x(1-\epsilon)}{d_p} = \frac{6x(1-0.768)}{0.409 \times 10^{-2}}$ $= 340.34 \text{ m}^2/\text{m}^3$	

$$ka = 162,626 \text{ kg water}/\text{m}^3 \text{ hr}$$

เงื่อนไขที่เหมาะสมที่สุดของการขึ้นรูปจะแตกต่างกันไปคือ ความเร็วลมร้อน (v_{bed}) เท่ากับ 2100 m/hr = 0.5556 m/s และค่า $ka = 55,000 \text{ kg water}/(\text{kg dry air m}^3 \text{ h hr})$ ก่อนอื่นคำนวณค่า k ก่อนจากสมการ (3.7) และ (3.8) ในบทที่ 3 สมมติว่าลมร้อนที่ออกจากชั้นวัสดุมีอุณหภูมิ 33 °ซ และความชื้นของลมร้อน 0.033 kg water/kg dry air

$$\text{อุณหภูมิของลมร้อนเฉลี่ยผ่านเบค} = \frac{(65+33)}{2} = 49 \text{ °ซ}$$

$$\begin{aligned} \text{ความหนาแน่นของอากาศชื้นขาเข้า} &= \frac{273 \times 18 \times 29}{(22.4(273 + T_{Ain})(18 + 29H_{in}))} \\ &= \frac{273 \times 18 \times 29}{(22.4(273 + 30)(18 + 29 \times 0.018))} \\ &= 1.1335 \text{ kg dry air}/\text{m}^3 \end{aligned}$$

$$\begin{aligned} \text{อัตราการไหลเชิงมวลของอากาศแห้ง (G)} &= \rho_A v_{fA} = 1.1338 \times 2100 \\ &= 2,380 \text{ kg dry air}/\text{m}^2 \text{ hr} \end{aligned}$$

$$\begin{aligned} \text{อัตราการไหลเชิงมวลของลมร้อน (G)} &= G(1+H_{ave}) \\ &= 2,380 \times (1+(0.018+0.033)/2) \\ &= 2,441.05 \quad \text{kg tot/m}^2 \text{ hr} \end{aligned}$$

คำนวณ Re

$$\begin{aligned} \text{ความหนืดของลมร้อนที่อุณหภูมิเฉลี่ย (49 °C)} &= 0.07 \quad \text{kg/m hr} \\ \text{เพราะฉะนั้น} \quad \text{Re} &= (2,441.05 \times 0.00409)/0.07 = 142.63 \\ \text{จากสมการ (3.7)} \end{aligned}$$

$$\left(\frac{h}{GC_{Have}} \right) = \begin{cases} 2.41(\text{Re})^{-0.51} & ; \text{Re} < 350 \\ 1.31(\text{Re})^{-0.41} & ; \text{Re} > 350 \end{cases}$$

$$\begin{aligned} C_{Have} &= C_{PA} + C_{Pv} H_{ave} \\ &= 0.24 + 0.46 \times (1+(0.018 + 0.033)/2) \\ &= 0.2517 \end{aligned}$$

$$\begin{aligned} \text{เพราะฉะนั้น} \quad h &= 0.2517 \times 2441.05 \times 2.41 (142.6)^{-0.51} \\ &= 118.0 \quad \text{kcal/m}^3 \end{aligned}$$

$$\begin{aligned} k &= h/CH_{ave} \\ &= 118/0.2517 = 468.81 \quad \text{kg water/m}^2 \end{aligned}$$

$$\begin{aligned} \text{นับว่าค่า } k \text{ ที่ได้จากการคำนวณ} &= k \text{ ที่ได้จากการทดลอง} \\ \text{แต่ค่า } ka \text{ ที่เหมาะสมจากการซีมูเลต} &= 55,000 \quad \text{kg water/m}^3 \text{ hr} \end{aligned}$$

$$\text{เพราะฉะนั้น} \quad a = 55,000/468.81 = 117.2 \quad \text{m}^2/\text{m}^3$$

ค่า a ที่คำนวณได้ = 34 % ของ a ที่คำนวณจากทฤษฎีแสดงว่าวัสดุเรียงตัวกันก่อน

ข้างแน่นมาก

ศูนย์วิจัยทรัพยากร
จุฬาลงกรณ์มหาวิทยาลัย

ภาคผนวก ก

ตัวอย่างการคำนวณค่าในบทที่ 5

ตัวอย่างการคำนวณค่าในภาคผนวกนี้ แบ่งเป็น 2 ตัวอย่างคือ

1. การคำนวณราคาของพลังงานความร้อน, ไฟฟ้า และราคาแรงงาน
2. การคำนวณความดันลคของลมร้อนผ่านเครื่องอุ่นลมร้อน

รายละเอียดของการคำนวณมีดังนี้คือ

ศูนย์วิทยทรัพยากร
จุฬาลงกรณ์มหาวิทยาลัย

ภาคผนวก ก.1

การคำนวณราคาของพลังงานความร้อน, ไฟฟ้า และราคาแรงงาน

คำนวณราคาของพลังงานความร้อนที่ใช้อุ่นลมร้อน ในระบบของเครื่องอบแห้ง โดยใช้ไอน้ำอิ่มตัวความดัน 2 บรรยากาศ มาแลกเปลี่ยนความร้อนแบบเซลล์และท่อ และไอน้ำที่เราใช้นี้ผลิตมาจากน้ำมันเตาอีกทอดหนึ่ง โดยประเมินว่าน้ำมันเตา 1 ลิตร สามารถผลิตไอน้ำได้ 17 ตัน และราคาของน้ำมันเตาลิตรละ 4.50 บาท ขณะที่ส่งผ่านระบบท่อจากต้นกำเนิดมาถึงเครื่องแลกเปลี่ยนความร้อนนั้น มีการสูญเสียพลังงานไปประมาณ 5 %

น้ำมันเตา 1 ลิตร สามารถผลิตไอน้ำได้ 17 ตัน หรือเท่ากับพลังงาน $17 \times 2257 \times 1000 = 3.837 \times 10^7$ kJ สูญเสียไป 5% เหลือพลังงาน $0.95 \times 3.837 \times 10^7 = 3.645 \times 10^7$ kJ ดังนั้นราคาพลังงานไอน้ำเท่ากับ $4.5 / 3.645 \times 10^7 = 1.235 \times 10^{-7}$ baht/kJ หรือ $C_1 = 1.235 \times 10^{-7}$ baht/kJ

ราคาของค่าไฟฟ้า (C_2) เท่ากับ 1.40 baht/kW = 3.89×10^{-4} baht/kJ

ราคาค่าแรงงาน (C_3) เท่ากับ 25 baht/hr = 6.944×10^{-3} baht/sec ,

ศูนย์วิทยทรัพยากร
จุฬาลงกรณ์มหาวิทยาลัย

ภาคผนวก ก.2

การคำนวณความดันตกของลมร้อนผ่านเครื่องอุ่นลมร้อน

ในทันทีเครื่องอุ่นลมร้อนคือเครื่องแลกเปลี่ยนความร้อนแบบเชลล์และท่อ ที่ให้อไอน้ำ (saturated steam) ความดัน 2 บรรยากาศ มาควบแน่นในเชลล์ และถ่ายเทความร้อนให้ลมร้อนซึ่งไหลอยู่ในท่อ เครื่องแลกเปลี่ยนความร้อนที่ศึกษาข้างต้นเอง โดยกำหนดขนาดและรูปร่างดังนี้ คือเป็นแบบ pull through floating head, 1 tube pass และ 1 shell pass มีเส้นผ่าศูนย์กลางของเชลล์ (ϕ_{SHELL}) 30 นิ้ว (0.764 m), ยาว (L_{HX}) 3.5 m ส่วนท่อที่ใช้ BWG#14 เส้นผ่าศูนย์กลางภายนอก 2 นิ้ว จำนวน 64 ท่อ เรียงตัวแบบ standard square pitch มีระยะ pitch 0.0635 m, มัดท่อ (tube bundle) = 0.671 m, ระยะห่างของแผ่นกั้น (baffle spacing) 0.764 m และ segment cut 20% ความดันตกของค้ำท่อ ($-\Delta P_{HX}$) สามารถคำนวณได้จากสูตรใน (56) ดังนี้

$$(-\Delta P_{HX}) = 8j_F \left(\frac{L}{D_I} \right) \frac{\rho V_T^2}{2} \quad (9)$$

โดยที่ค่า j_F หาได้จากกราฟใน (56) เมื่อทราบค่า Re

L ความยาวของท่อ (m)

D_I เส้นผ่าศูนย์กลางของท่อ (m)

V_T ความเร็วลมร้อนในท่อ (m/s.)

ความหนืดของลมร้อนเฉลี่ยในท่อ และที่ผิวของท่อ (μ)
ความหนาแน่นของลมร้อนเฉลี่ยภายในท่อ (ρ) (kg/m^3)

เช่น ในกรณีที่ลมร้อนมีความเร็วผ่านเบค (v_{BED}) 0.4634 เมตร/วินาที

ความเร็วลมร้อนในท่อหนึ่งท่อ (v_T) 8.3173 เมตร/วินาที

$$\text{ค่า } Re = d_p \bar{G} / \mu$$

$$= 1.1128 \times 8.3173 \times 0.04526 / 2.094 \times 10^{-5}$$

$$= 20,004.9$$

$$\text{อ่านค่า } j_F \text{ จาก (56) ได้ } j_F = 3.9 \times 10^{-3}$$

$$T_{wall} = 117^\circ \text{C} \text{ (เนื่องจากไอน้ำอิ่มตัวความดัน 2 บรรยากาศ)}$$

$$\text{กาศ ควบแน่นที่อุณหภูมิ } 119.96^\circ \text{C} \text{ และ } \mu_{wall} = 2.447 \times 10^{-5} \text{ kg/(m hr)}$$

$$\begin{aligned}
 (-\Delta P_{HX}) &= 8 \times 3.9 \times 10^{-3} \times (3.5/0.04526) \times (1.1128 \times 8.3173^2/2) \times \\
 &\quad \times (2.094 \times 10^{-5}/2.447 \times 10^{-5})^{-0.14} \\
 &= 94.9144 \text{ N/m}^2
 \end{aligned}$$

$$(-\Delta P_{HX}) = 9.3073 \text{ mmH}_2\text{O}$$

ความดันตกของลมร้อนเมื่อไหลผ่านท่อ (ความดันตกของลมร้อนเมื่อผ่านเครื่องอุ่นลม ร้อน) เมื่อลมร้อนมีความเร็วผ่านเบด 0.4634 เมตร/วินาที เท่ากับ 9.3073 mmH₂O

ศูนย์วิทยทรัพยากร
จุฬาลงกรณ์มหาวิทยาลัย

ภาคผนวก ง

อัลกอริทึมของวิธีรันท-คัตตา ออเคอร์ที่ 4 (Fourth order Runge-Kutta)

วิธีหาคำตอบเชิงตัวเลขสำหรับสมการอนุพันธ์อันดับมู่หาค่าเริ่มต้น (initial value problem) มีอยู่ด้วยกันหลายวิธี เช่น วิธีของออยล์เลอร์ (Euler's method), วิธีของอดัมส์ (Adam's method), วิธีของรันท-คัตตา (Runge-Kutta' method), วิธีของเกียร์ (Gear's method) เป็นต้น ซึ่งแต่ละวิธีก็มีอัลกอริทึมแตกต่างกันและความแม่นยำความยุ่งยากต่างๆ กัน

ในวิทยานิพนธ์นี้ใช้วิธีของรันท-คัตตา ออเคอร์ที่ 4 เพียงวิธีเดียวในการหาคำตอบการเปลี่ยนแปลงเชิงจลน์ของตัวแปรต่างๆ ในแบบจำลอง (รูปที่ 3) วิธีนี้สามารถใช้แก้ระบบสมการอนุพันธ์กำลังส่วนหนึ่ง n สมการการ (frist order differential equation) พร้อมกัน โดยเริ่มจากเงื่อนไขเริ่มต้นที่กำหนดให้ของตัวแปร n อัน ดังนี้

ก่อนอื่นนิยามให้

$$Y_{j,i} = Y_j(x_i) \quad (ง.1)$$

สำหรับ $j = 1, 2, \dots, n$

โดยที่ $Y_{j,i}$ คือ ค่าของตัวแปรไม่อิสระ (dependent variable) ณ ตำแหน่งตัวแปรอิสระ X_i (ขั้นตอนที่ i)

เมื่อเริ่มต้นหาคำตอบ ($X_1 = X_0$) จะต้องบ่อนเงื่อนไขเริ่มต้นของตัวแปรต่างๆ คือ $Y_{j,i} = 0$ สำหรับทุกๆ j เข้าไป และใช้วิธีการของรันท-คัตตาเพื่ออินทิเกรตหาคำตอบสำหรับขั้นตอน $i = 1$ หรือ $Y_{j,i} = 1$ สำหรับทุกๆ j และใช้คำตอบที่หาได้นี้ เป็นเงื่อนไขเริ่มต้นสำหรับการอินทิเกรตในขั้นตอน $i = 2$ และต่างๆ ไป นั่นคือ เขียนสรุปเป็นขั้นตอนง่าย ๆ สำหรับการอินทิเกรตหาคำตอบที่ขั้นตอน $i + 1$ หรือ $Y_{j,i+1}$ จากเงื่อนไขของขั้นตอน i หรือ $Y_{j,i}$ ได้ดังนี้

$$Y_{j,i+1} = Y_{j,i} + H_j = Y_{j,i} + h(k_{j,1} + 2k_{j,2} + 2k_{j,3} + k_{j,4}) \quad (ง.2)$$

โดยที่ $h = X_{i+1} - X_i$ และค่าของ $k_{j,1}, k_{j,2}, k_{j,3}$ และ $k_{j,4}$ สามารถหาได้จาก

$$k_{j,1} = f_j(X_i, Y_{1,2}, Y_{2,i}, \dots, Y_{n,i}) \quad (ง.3)$$

โดยที่ f_j ในสมการข้างต้นเป็นสมการอนุพันธ์สมการที่ j ของตัวแปร $Y_{1,2}, Y_{2,i}, \dots, Y_{n,i}$ กับ X_i

ต่อมาประมาณค่าคำตอบ $Y_{j,i}^*$ ขึ้นมาเพื่อนำไปใช้หาค่า $k_{j,2}$

$$Y_{j,i}^* = Y_{j,i} + 1/2 h k_{j,1} \quad (จ.4)$$

$$k_{j,2} = f_j(X_i + 1/2h, Y_{1,i}^*, Y_{2,i}^*, \dots, Y_{n,i}^*) \quad (จ.5)$$

ต่อมาประมาณค่าคำตอบ $Y_{j,i}$ เพื่อหาค่า $k_{j,3}$ ดังนี้

$$Y_{j,i} = Y_{j,i} + 1/2h k_{j,2} \quad (จ.6)$$

$$k_{j,3} = f_j(X_i + 1/2h, Y_{1,i}, Y_{2,i}, \dots, Y_{n,i}) \quad (จ.7)$$

ต่อมาประมาณค่าคำตอบ $\bar{Y}_{j,i}^*$ เพื่อหาค่า $k_{j,3}$ ดังนี้

$$\bar{Y}_{j,i}^* = Y_{j,i} + 1/2h k_{j,3} \quad (จ.8)$$

$$k_{j,4} = f_j(X_i + h, \bar{Y}_{1,i}^*, \bar{Y}_{2,i}^*, \dots, \bar{Y}_{n,i}^*) \quad (จ.9)$$

เมื่อหาค่าของ $Y_{j,i+1}$ ได้จาก $Y_{j,i}$ ค่าของ $Y_{j,i+1}$ จะเป็นคำตอบที่หาได้เมื่อถึงขั้นตอน $i+1$ ด้วยวิธีรัน-คัตตา ออกเคอร์ที่ 4 ตามต้องการ

สำหรับในกรณีที่สามารถอนุพันธ์มีกำลังสูงกว่าหนึ่งก็สามารถใช้วิธีนี้ได้ แต่ต้องแปลงรูป (transform) มาเป็นสมการกำลังหนึ่งเสียก่อน

ศูนย์วิทยทรัพยากร
จุฬาลงกรณ์มหาวิทยาลัย

ภาคผนวก จ

โปรแกรมคอมพิวเตอร์สมบูรณ์



ศูนย์วิทยทรัพยากร
จุฬาลงกรณ์มหาวิทยาลัย

```

R
C *****
C *          MAIN PROGRAM OF THESIS SIMULATION OF          *
C *          THROUGH-FLOW DRYER                          *
C *****

IMPLICIT DOUBLE PRECISION (A-H,O-Z), INTEGER*4 (I-N)
COMMON /VAR1/ VV(100),WV(100),AK(100),AKT(100)
COMMON /VAR2/ RT,CPAFA,CPAI,QZ,HI
COMMON /VAR3/ H10(25),HVTS(25),QEV(25),QP(25),QXT(25),RCX(25),T10
(25),VHI(25),ZHS(25),WST(25)
COMMON /VAR4/ BHVTS(25),BRXC(25),BZHS(25)
COMMON /CONSR1/ AREA,HL,CMFA,ESP,DEQ,HVS,CMFA0,CHF,SX,SPAREA
COMMON /CONSR2/ RHFA,WC,WE,CPS,CPW,WOAVE
COMMON /CONSR3/ CPA,CPV,HFA,TFA,TSO,DT,RAV
COMMON /CONSR4/ R,H10,TAI,VOLB,GN,CKA,HCA
COMMON /CONSN/ N,NM

C *****
C *          NOMENCLATURE AND UNIT OF VARIABLES          *
C *****

C :N: NO. OF TANKS (-)
C :HL: HEIGHT OF BED (M)
C :SX,RHFA: BULK DENSITY OF DRY SOLID (KG-DRY SOLID/M-SOLID^3)
C           DENSITY OF DRY AIR (KG-DRY AIR/M-HUMID AIR^3)
C :ESP: VOID FRACTION OF BED (M-VOID^3/M-BED^3)
C :DEQ: EQUIVALENCE DIAMETER OF SOLID (M)
C :AREA,SPAREA: X-SECTION AREA OF BED (M-BED^2) AND
C           SPECIFIC SURFACE AREA PER VOLUME (M-BED^2/M-BED^3)
C :CPS,CPA,CPW,CPV: SPECIFIC HEAT CAPACITY OF DRY SOLID, DRY AIR,
C           WATER AND WATER VAPOR (KJ/(KG-DRY SOLID*( C))),
C           (KJ/(KG-DRY AIR*( C))), (KJ/(MOISTURE CONTENT
C           *( C))), (KJ/(ABS. HUMIDITY*( C)))
C :HVS,HVTS: LATENT HEAT OF VAPORIZATION OF WATER AT REF. TEMP. 0 C
C           = 2491.15 KJ/KG-WATER AND OF THAT SOLID TEMP.
C :R: RECYCLE RATIO OF DRY AIR AT OUTLET PER INLET FRESH AIR (-)
C :VEL: SUPERFICIAL VELOCITY OF HUMID AIR (M/HR)
C :CHF,CMFA0,CHFA: MASS VELOCITY AND MASS FLOW RATE OF DRY AIR
C           AT ANY POSITION IN BED (KG-DRY AIR/(M-BED^2*HR)),
C           (KG-DRY AIR/HR)
C :CKA,HCA: MASS TRANSFER COEFF. AND HEAT TRANSFER COEFF. BY VOL.
C           (KG WATER/(M^3BED*HR)), (KCAL/(M^3BED*HR*( C)))
C :RT,TT,DT,TDT,TSTOP: REAL TIME (HR), DIMENSIONLESS TIME, REAL TIME
C           AND DIMENSIONLESS TIME INCREMENT (HR),(-)
C           AND TIME TO STOP RUNNING PROGRAM (HR)
C :JTPRT,JTMIX: TIME TO PRINT OUT RESULTS OF PROGRAM (S), TIME TO
C           MIXING SOLID IN BED ( = 0.5 HR )
C :VV(I),WV(I): VECTOR OF VARIABLES FOR W,H,TS,TA AT ANY TANKS AND
C           ANY TIME AND THE VECTOR IN DIMENSIONLESS VAR.
C :VHI: SPECIFIC VOLUME OF DRY AIR AT ANY POINT, TIME (M^3/KG DRY AIR)
C :AK(I),AKT(I): THE DERIVATIVE OF VECTOR VV(I)
C :W,WAVE,WOAVE,WC,WE: MOISTURE CONTENT, AVE. MOISTURE CONTENT AT
C           ANY TIME AND AT TIME = 0, CRITICAL AND
C           EQUILIBRIUM MOISTURE CONTENT
C           (KG-WATER/KG-DRY SOLID)
C :WSTOP: FINAL MOISTURE CONTENT WHICH STOP RUNNING PROGRAM (
C           KG-SOLID/KG-WATER)
C :H,ZHS,HFA,HI,H10: ABS. HUMIDITY AT DRY BULB TEMP., AT ITS SAT.
C           VALUE OF SOLID TEMP., OF FRESH AIR, AT THE
C           ENTRANCE OF BED (KG WATER/KG DRY AIR)
C :TS,TSAVE,TSO: TEMP. OF WET SOLID IN BED, AVE. VALUE OF ITS (C),
C           AT TIME = 0
C :TA,TFA,TAI: DRY BULB TEMP. OF HUMID AIR IN (C), OF FRESH AIR (C)
C           AT THE ENTRANCE OF BED (C)
C :WST,WSTAVE: DIMENSIONLESS VARIABLES OF W AND ITS AVERAGE
C :QLHR,QL,QTOT: RATE OF PREHEATING MIXED AIR TO DESIRES TEMP.,
C           AND HEAT AT ANY TIME, TOTAL PREHEATED ENERGY OF
C           HEATER(KJ/HR), (KJ)
C :QXT,QEV,QP: RATE OF HEAT TRANSFER FROM AIR TO SOLID, RATE OF
C           VAPORIZATION, MODIFIED TERM OF ENTHALPY BALANCE
C           (KJ/HR)
C :RCX,RAVE: RATE OF VAPORIZATION AT ANY POINT, TIME (KG WATER/M^3/HR)
C           AVERAGE OF BED (KG WATER/HR)
C :H10,T10: TERM OF INPUT-OUTPUT OF HUMIDITY, TEMPERATURE
C :QZ: REAL TOTAL HEAT OF VAPORIZATION OF WATER (KJ)
C :THEFF: THERMAL EFF. APPROX. = HFG30*RAVE/QTOT*100%
C :REAL THERMAL EFF. = QZ/QTOT*100%

```

```

C *****
C * READ NECESSARY DATA AND INITIAL DATA *
C * FROM FILE *
C *****

READ(5,1) N
READ(5,1) JTPRT
READ(5,1) JTMIX
1 FORMAT(5X,18)
READ(5,2) HL
READ(5,2) AREA
READ(5,2) SPAREA
READ(5,2) SX
READ(5,2) DEQ
READ(5,2) ESP
READ(5,2) WC
READ(5,2) WE
READ(5,2) CPS
READ(5,2) CPW
READ(5,2) VEL
READ(5,2) R
READ(5,2) HVS
READ(5,2) HFA
READ(5,2) TFA
READ(5,2) CPA
READ(5,2) CPV
READ(5,2) TDT
READ(5,2) WOAVE
READ(5,2) WSTOP
READ(5,2) TSTOP
READ(5,2) RTO
READ(5,2) HI
READ(5,2) HIO
READ(5,2) TAI0
READ(5,2) QTOT0
READ(5,2) TSO
READ(5,2) CKA
READ(5,2) HCA
READ(5,2) QZ
2 FORMAT(5X,D20.0)

C
NM = 4*N
DO 3 I=1,NM
3 READ(5,5) VV(I)
5 FORMAT(5X,D20.0)

C *****
C * SHOW NECESSARY DATA INPUT *
C *****

WRITE(1,10)
10 FORMAT(20X,'----- NECESSARY DATA INPUT -----'//10X,'DIME
INSON OF DRYER'//)
WRITE(1,12) HL,AREA
12 FORMAT(5X,'HL(M) = ',D14.7,25X,'AREA(M**2) = ',D14.7//10X,'PROPERT
IES OF SOLID'//)
WRITE(1,14) CPS,CPW,WC,WE
14 FORMAT(5X,'CPS(KJ/KG DRY SOLID. C) = ',D14.7,5X,'CPW(KJ/KG WATER.
I C) = ',D14.7/5X,'WC(D.B.) = ',D14.7,22X,'WE(D.B.) = ',D14.7)
WRITE(1,16) CPA,CPV
16 FORMAT(/10X,'PROPERTIES OF AIR'//5X,'CPA(KJ/KG DRY AIR. C) = ',D14
1.7,7X,'CPV(KJ/KG WATER VAP.. C) = ',D14.7)
WRITE(1,18) DEQ,ESP,SPAREA,SX,TSO,WOAVE,N
18 FORMAT(/10X,'CONDITIONS OF DRYING'//5X,'DEQ(M) = ',D14.7,24X,'ESP
I = ',D14.7/5X,'SPAREA(M**2/M**3) = ',D14.7,13X,'SX(KG DRY SOLID/M*
I*3) = ',D14.7/5X,'TSO( C) = ',D14.7,23X,'WOAVE(D.B.) = ',D14.7/5X,
I'N(-) = ',13)
WRITE(1,20) TFA,HFA,VEL,R,HI,HIO,TAI0,HVS
20 FORMAT(/5X,'TFA( C) = ',D14.7,23X,'HFA = ',D14.7/5X,'VEL.(M/HR) =
I',D14.7,20X,'R(-) = ',D14.7/5X,'HI = ',D14.7,28X,'HIO = ',D14.7/5X
I,'TAI0( C) = ',D14.7,22X,'HVS(KCAL/KG WATER) = ',D14.7)
WRITE(1,22) CKA,HCA
22 FORMAT(/10X,'MASS & HEAT TRANSFER BY UNIT VOL.'//5X,'CKA(KG WATER/
I( H.M**3.HR)) = ',D14.7,4X,'HCA(KCAL/(M**3.HR. C) = ',D14.7)
WRITE(1,24) QTOT,QZ
24 FORMAT(/10X,'ENERGY CONSUMPTION'//5X,'QTOT(KJ) = ',D14.7,20X,'QZ(K
I) = ',D14.7)
WRITE(1,26) RTO,TDI,JTPRT,JTMIX
26 FORMAT(/10X,'TIME TO BEGIN RUNNING' 30X,'STEP TO INTEGRATE'//5X,'R
IT(HR) = ',D14.7,24X,'TDI(SEC) = ',D14.7//10X,'STEP TO PRINT RESULT
IS',30X,'STEP TO MIXING SOLID IN BED'//5X,'JTPRT = ',18,31X,'JTMIX
I = ',18)

```



```

IF( RT.EQ.RTO ) GOTO 90
85 IF( IPRT.NE.JTPRT ) GOTO 150
87 IPRT = 0
90 WRITE(1,95) RT,HI,TAI
95 FORMAT(5X,'AT TIME (HR) = ',D14.7,4X,'HI(-) = ',D13.6,4X,'TAIO( C
) = ',D13.6/'*****
|*****
|***')
WRITE(1,100)
100 FORMAT(1X,'POS.',7X,'W',13X,'H',12X,'TS',13X,'TA',11X,'WST',10X,'
|HVTS',11X,'ZHS',12X,'RCX')
DO 110 I=1,N
II = 4*(I-1)
WST(I) = (VV(II+1)-WE)/(WC-WE)
110 WRITE(1,115) I,VV(II+1),VV(II+2),VV(II+3),VV(II+4),WST(I),HVTS(I
),ZHS(I),RCX(I)
115 FORMAT(1X,I3,8(1X,D13.6))
C
WRITE(1,117)
117 FORMAT('*****
|*****
|***')
WRITE(1,120) QLHR,QTOT
120 FORMAT(5X,'QLHR( KJ/HR ) = ',D13.6,17X,'QTOT( KJ ) = ',D14.7/'***
|*****
|*****')
C
CALCULTE WAVE, TSAVE, RAV, THEFF, WSTAV
WAVE = 0.000
TSAVE = 0.000
WSTAV = 0.000
DO 130 J=1,N
JJ = 4*(J-1)
WAVE = WAVE+VV(JJ+1)
TSAVE = TSAVE+VV(JJ+3)
WSTAV = WSTAV+WST(J)
130 CONTINUE
WAVE = WAVE/GN
TSAVE = TSAVE/GN
WSTAV = WSTAV/GN
C
IF( RT.NE.0.000 ) GOTO 135
RAV = 0.000
THEFF = 0.000
GOTO 137
135 RAV = CMDS*(WAVE-WAVE)/RT
QEFF = RAV*RT*HFG30
THEFF = QEFF*1.0D2/QTOT
C
137 WRITE(1,140) WAVE, TSAVE, RAV, WSTAV, THEFF, QZ
140 FORMAT(5X,'WAVE(D.B.) = ',D16.8,19X,'TSAVE( C ) = ',D16.8/5X,'RAVE(
|KG WATER/HR) = ',D16.8,12X,'WSTAVE(-) = ',D16.8/5X,'THEFF (%) = ',
|D11.4,25X,'QZ(KJ) = ',D16.8/'*****
|*****
|*****')
C
150 IPRT = IPRT+1
C
*****
C * CHECKING TIME TO MIXING SOLID IN BED *
C *****
IF( IMIX.NE.JTMIX ) GOTO 157
C THE PROGRAM REACHING TIME TO MIXING SOLID IN BED
IMIX = 0
DO 155 J = 1,N
JJ = 4*(J-1)
VV(JJ+1) = WAVE
VV(JJ+2) = H10
VV(JJ+3) = TSAVE
VV(JJ+4) = TAI0
155 CONTINUE
HI = H10
TAI = TAI0
WRITE(1,156)
156 FORMAT(5X,' TIME TO MIXING BED AGAIN.')
GOTO 87
C NOT REACHING TIME TO MIXING SOLID IN BED
157 IMIX = IMIX+1

```

```

C *****
C * CHECK TIME TO STOP RUNNING PROGRAM *
C *****

250 IF(( VV(NM-3).LE.WSTOP ).OR.( RT.GE.TSTOP )) GOTO 270

C TIME BEGIN TO CHANGE
C RT = RT+DT
C CALL SUBROUTINE FOR INTEGRATE THE VARIABLES OF NEXT TIME
C CALL RUNGKT(IPRT,JTPRT,QLHR)

C CALCULATE THE PREHEATING ENERGY OF HEATER
C QL = QLHR*DT
C QTOT = QTOT+QL
C RETURN TO CHECK WHETHER TO PRINT RESULTS AGAIN
C GOTO 85

C *****
C * THE END OF SIMULATION *
C *****

270 WAVE = 0.000
DO 275 J=1,N
JJ = 4*(J-1)
WAVE = WAVE+VV(JJ+1)
275 CONTINUE
WAVE = WAVE/GN
WRITE(1,280) RT,WAVE,WSTOP,TSTOP,QTOT,QZ
280 FORMAT(3X,'AT TIME (HR) = ',D14.7,2X,'WAVE(D.B.) = ',D14.7,' <= W
I STOP(D.B.) ',D14.7,' OR TIME => ',D14.7,'HR. '/5X,'TOTAL ENERGY FOR
I HEATER (KJ) = ',D14.7,5X,'TOTAL HEAT OF VAPORIZATION (KJ) = ',D14
I.7)

C WRITE(1,290)
290 FORMAT('-----
|-----/1X,'POS.',7X,'W',13X,'H',13X,'TS',14X,'TA')
DO 300 M = 1,N
MI = 4*(M-1)
300 WRITE(1,310) M,VV(MI+1),VV(MI+2),VV(MI+3),VV(MI+4)
310 FORMAT(1X,13,2X,D13.6,2X,D12.5,2(2X,D13.6))
WRITE(1,320)
320 FORMAT(5X,'-----')
STOP
END

C *****
C ***** END OF MAIN PROGRAM *****
C *****

C *****
C * SUBROUTINE RUNGKT FOR CAL. Y(I,TT+DELTDI) *
C *****

SUBROUTINE RUNGKT(IPRT,JTPRT,QLHR)
IMPLICIT DOUBLE PRECISION (A-H,O-Z), INTEGER*4 (I-N)
COMMON /VAR1/ VV(100),WW(100),AK(100),AKT(100)
COMMON /VAR2/ RT,CPAFA,CPAI,QZ,HI
COMMON /VAR3/ HIO(25),HVTS(25),QVVP(25),QP(25),QXT(25),RCX(25),TIO
I(25),VHI(25),ZHS(25),WST(25)
COMMON /VAR4/ BHVTS(25),BRCX(25),BZHS(25)
COMMON /CONSR1/ AREA,HL,CHFA,ESP,DEQ,HVS,CHFAO,CMF,SX,SPAREA
COMMON /CONSR2/ RHFA,WC,WE,CPS,CPW,W0AVE
COMMON /CONSR3/ CPA,CPV,HFA,TFA,TSO,DT,RAV
COMMON /CONSR4/ R,HIO,TAI,VOLB,GN,CKA,HCA
COMMON /CONSIL/ N,NM

QHR = 0.000
BQZ = 0.000
IF( IPRT.NE.JTPRT ) GOTO 4
C INITIALIZED THE INTERMEDIATE VARIABLES
DO 3 NI = 1,N
BHVTS(NI) = 0.000
BRCX(NI) = 0.000
BZHS(NI) = 0.000
3 CONTINUE
C INITIALIZED THE VARIABLES
4 DO 5 IMF=1,NM
AKT(IMF) = 0.000
AK(IMF) = 0.000
5 CONTINUE
C SET UP 4-TH ORDER RUNGE-KUTTA METHOD

```

```

DO 200 IK=1,4
GOTO(10,15,15,20),IK
10  C = DT
    DX = 0.0DO
    GOTO 25
15  C = 2.0DO*DT
    DX = 5.0D-1*DT
    GOTO 25
20  C = DT
    DX = DT
25  DO 30 J=1,NM
    WW(J) = VV(J)+(DX*AK(J))
30  CONTINUE
C      CHANGE BOUNDARY CONDITION OF H INPUT
HI = (1.0DO/(1.0DO+R))*HFA+(R*WW(NM-2))
C      CALCULATE RATE OF PREHEATING ENERGY OF HEATER AT RT > 0
CPAI = (CPA+(CPV*HI))*TAI
CPAFA = (1.0DO/(1.0DO+R))*(CPA+(CPV*HFA))*TFA
CPAR = (R/(1.0DO+R))*(CPA+(CPV*WW(NM-2)))*WW(NM)
QLH = CMFA0*(CPAI-CPAFA-CPAR)

DO 120 I=1,N
IDW = 4*(I-1)
W = WW(IDW+1)
H = WW(IDW+2)
TS = WW(IDW+3)
TA = WW(IDW+4)
C      CALL SUBROUTINE FOR CAL. RATE OF VAPORIZATION
CALL RCZHS(W,H,TS,IK,I)
C      CALL SUBROUTINE FOR CAL. LATENT HEAT OF VAPORIZATION
CALL LHVP(TS,HFG,RT)
HVTS(I) = HFG
C      WE ASSUMED NO HEAT LOSS FROM SYSTEM
C      CAL. SP. HEAT CAPACITY OF WET SOLID
CX = CPS+(CPW*W)
C      CAL. HEAT TRANSFER FROM AIR TO WET SOLID
QXT(I) = HCA*(TA-TS)
C      CAL. HEAT OF VAPORIZATION FROM WET SOLID
QEVPI(I) = RCX(I)*HVTS(I)
BQZ = BQZ+(C*QEVPI(I)*VOLB/GH)
C      CAL. SP. VOL. OF AIR
VHI(I) = 2.24D1*(2.73D2+TA)*(1.8D1+(2.9D1*H))/(2.73D2+1.8D1*2.9D
11)
C      CAL. SP. HEAT CAPACITY OF AIR
CAX = CPA+(CPV*H)
QP(I) = RCX(I)*CPV*(TA-TS)
C      H,TA FLOW INTO TANK ANY 'I'
IF( 1.GT.1 ) GOTO 80
C      OF TANK '1'
HINP = HI
TAINP = TAI
GOTO 100
C      OF TANK '2' TO 'N'
80  HINP = WW(IDW-2)
    TAINP = WW(IDW)
C      CALCULATE SP. HEAT CAPACITY OF AIR FLOW INTO TANK 'I'
100 CPI = CPA+(CPV*HINP)
C      CALCULATE TERMS OF NET FLOW TO SYSTEM OF H AND TA
HIO(I) = CMF*(HINP-H)
TIO(I) = CMF*CPI*(TAINP-TA)
C      CALCULATE MATERIAL AND ENERGY BALANCE EQUATIONS OF SYSTEM
AK(IDW+1) = -RCX(I)/SX
AK(IDW+2) = (VHI(I)/ESP)*(HIO(I)+RCX(I))
AK(IDW+3) = (QXT(I)-QEVPI(I))/(SX*CX)
AK(IDW+4) = (VHI(I)/(ESP*CAX))*(TIO(I)-QXT(I)-QP(I))
C      IF( IPRT.NE.JTPRT ) GOTO 120
C      ACCUMULATION OF INTERMEDIATE VARIABLES
BHVTS(I) = BHVTS(I)+(C*HVTS(I))
BRCX(I) = BRCX(I)+(C*RCX(I))
BZHS(I) = BZHS(I)+(C*ZHS(I))
C      120 CONTINUE

```



```

DO 130 II=1,NM
  AKT(II) = AKT(II)+(C*AK(II))
130 CONTINUE
  QHR = QHR+(C*QLH)
200 CONTINUE
C
DO 210 JI=1,NM
  AKT(JI) = AKT(JI)/6.0D0
  VV(JI) = VV(JI)+AKT(JI)
210 CONTINUE
  QLHR = QHR/(6.0D0*DT)
  QZ = QZ+(BQZ/6.0D0)
C
IF( IPRT.NE.JTPRT ) RETURN
C
      AVERAGE INTERMEDIATE VARIABLES IN DT PERIOD
DO 250 JZ = 1,N
  HVTS(JZ) = BHVTS(JZ)/(6.0D0*DT)
  RCX(JZ) = BRCX(JZ)/(6.0D0*DT)
  ZHS(JZ) = BZHS(JZ)/(6.0D0*DT)
250 CONTINUE
  RETURN
  END
C
*****
* SUBROUTINE FOR CAL. RC AND HVTS *
*****
SUBROUTINE RCZHS(W,H,TS,IK,I)
  IMPLICIT DOUBLE PRECISION (A-H,O-Z), INTEGER*4 (I-N)
  COMMON /VAR1/ VV(100),WW(100),AK(100),AKT(100)
  COMMON /VAR2/ RT,CPAFA,CPAI,QZ,HI
  COMMON /VAR3/ HIO(25),HVTS(25),QVVP(25),QP(25),QXT(25),RCX(25),TIO
  I(25),VHI(25),ZHS(25),WST(25)
  COMMON /VAR4/ BHVTS(25),BRCX(25),BZHS(25)
  COMMON /CONSR1/ AREA,HL,CMFA,ESP,DEQ,HVS,CMFAO,CHF, SX, SPAREA
  COMMON /CONSR2/ RHFA,WC,WE,CPS,CPW,W0AVE
  COMMON /CONSR3/ CPA,CPV,HFA,TFA,TSO,DT,RAV
  COMMON /CONSR4/ R,HIO,TAI,VOLB,GN,CKA,HCA
  COMMON /CONSI1/ N,NM
C
      CALCULATE RATIO OF FREE MOISTURE CONTENT
IF( W.GT.WE ) GOTO 20
C
      W <= WE
  FWST = 0.0D0
  ZHS(I) = 0.0D0
  RCX(I) = 0.0D0
  RETURN
20 IF( W.GT.WC ) GOTO 30
C
      WE < W < WC
  FWST = (W-WE)/(WC-WE)
  GOTO 40
C
      W => WC
30 FWST = 1.0D0
C
      CALL SUBROUTINE FOR CALCULATE SAT. ABS. HUMIDITY HS
40 CALL PSHS(TS,HS,RT,IK,I)
  ZHS(I) = HS
C
      CALCULATE RATE OF VAPORIZATION RCX
  RCX(I) = CKA*(ZHS(I)-H)*FWST
  RETURN
  END
C
*****
* SUBROUTINE PSHS FOR CALCULATE PS,HS *
* FROM ASAE EQN.(1976) *
*****
SUBROUTINE PSHS(TS,HS,RT,IK,I)
  IMPLICIT DOUBLE PRECISION (A-H,O-Z), INTEGER*4 (I-N)

```

```

C *****
C * CAL. PS *
C *****

C CHANGE TEMPERATURE FROM CELCIUS TO RANKINE DEGREE

TR = (1.8D0*TS)+4.9169D2
IF( TR.GT.4.5969D2 ) GOTO 10
C TS <= 459.69 R (-17.78 C)
TR = 4.5969D2
WRITE(1,5)
5 FORMAT(5X,'TS IN PSHS SUB. < -17.78 C ')
GOTO 25
10 IF( TR.LE.4.9169D2 ) GOTO 25
IF( TR.LE.9.5969D2 ) GOTO 20
C TS > 959.69 R (260 C)
TR = 9.5969D2
WRITE(1,15)
15 FORMAT(5X,'TS IN PSHS SUB. > 260 C ')
C 491.69 R (0 C) < TS <= 959.69 R (260 C)
20 A1 = -2.74055D4
A2 = 5.41896D1*TR
A3 = -4.513D-2*(TR*TR)
A4 = 2.15321D-5*(TR*TR*TR)
A5 = -4.62027D-9*(TR*TR*TR*TR)
A6 = 2.41613D0*TR
A7 = -1.21547D-3*(TR*TR)
PS = 3.20618D3*DEXP((A1+A2+A3+A4+A5)/(A6+A7))
GOTO 30
C 459.69 R (-17.78 C) < TS <= 491.69 R (0 C)
25 PS = DEXP(2.33924D1-(1.12866489D4/TR)-(4.6057D-1*DLOG(TR)))

C *****
C * CAL. HS FROM IDEAL GAS ASSUMPTION *
C *****
C ASSUME MOIST AIR TO BE IDEAL GASES, THIS METHOD CAN FIND HS IN
C RANGE OF TEMPERATURE < 100 C ( OR PS <= 1 ATM )
C
30 IF( PS.GT.1.4696D1 ) GOTO 40
C 0 < PS <= 14.696 PSIA (1 ATM)
HS = 6.2198D-1*PS/(1.4696D1-PS)
RETURN
C PS > 14.696 PSIA (1 ATM) CAN'T USED THIS METHOD
40 WRITE(1,50) RT,IK,I
50 FORMAT(5X,' AT RT = ',D13.5,' HR. AND IK = ',I2,' AND I = ',I2,'
VAPOR PRESSURE OF WATER VAPOR > 14.696 PSI, AND CANNOT FIND HS ')
STOP
END

C *****
C * SUBROUTINE LHVP FOR CAL. HFG *
C *****

SUBROUTINE LHVP(TS,HFG,RT)
IMPLICIT DOUBLE PRECISION (A-H,O-Z), INTEGER*4 (I-N)

C CHANGE TEMPERATURE FROM CELCIUS TO RANKINE DEGREE

TR = (1.8D0*TS)+4.9169D2
IF( TR.GT.4.5969D2 ) GOTO 10
C TS <= 459.69 R (-17.78 C)
TR = 4.5969D2
WRITE(1,5)
5 FORMAT(5X,'TS IN LHVP SUB. < -17.78 C ')
GOTO 40
10 IF( TR.LE.4.9169D2 ) GOTO 40
IF( TR.LE.6.0969D2 ) GOTO 30
IF( TR.LE.9.5969D2 ) GOTO 20
C TS > 959.69 R (260 C)
TR = 9.5969D2
WRITE(1,15)
15 FORMAT(5X,'TS IN LHVP SUB. > 260 C ')
C CAL. LATENT HEAT OF VAPORIZATION IN BTU/LB WATER UNIT
C 609.69 R (65.55 C) < TS <= 959.69 R (260 C)
20 HFG = DSQRT(1.354673214D6-(9.125275587D-1*(TR*TR)))
GOTO 50
C 491.69 R (0 C) < TS <= 609.69 R (65.55 C)
30 HFG = 1.0758965D3-(5.6983D-1*(TR-4.9169D2))
GOTO 50
C 459.69 R (-17.78 C) < TS <= 491.69 R (0 C)
40 HFG = 1.220844D3-(5.077D-2*(TR-4.5969D2))
C CONVERT LATENT HEAT OF VAPORIZATION TO KJ/KG WATER
50 HFG = 2.326D3*HFG
RETURN

C *****
C * THE LAST LINE OF PROGRAM *
C *****

```

ภาคผนวก จ

สัปดาห์ RCZHS และ PSHS



ศูนย์วิทยทรัพยากร
จุฬาลงกรณ์มหาวิทยาลัย

```

C
C *****
C *          SUBROUTINE PSHS FOR CALCULATE PS,HS          *
C *          FROM ASAE EQN.(1976)                        *
C *****
C SUBROUTINE PSHS(TR,HS,RT,IK,I)
C IMPLICIT DOUBLE PRECISION (A-H,O-Z), INTEGER*4 (I-N)
C WRITE(1,2)
2 FORMAT(5X,' T( C)   T( R)   PS(PSIA)   HS(-)   HFG(KJ/K
C   IG)')
C
C DO 150 II = -50,1000
C   TS = FLOAT(II)/1.0D1
C
C           CHANGE TEMPERATURE FROM CELCIUS TO RANKINE DEGREE
C
C   TR = 1.8D0*TS + 4.9169D2
C
C *****
C *          CAL. PS          *
C *****
C   IF( TR.GT.4.5969D2 ) GOTO 10
C           TS <= 459.69 R (-17.78 C)
C   TR = 4.5969D2
C   WRITE(1,5)
5   FORMAT(5X,' TS IN PSHS SUB. < -17.78 C ')
C   GOTO 25
C 10  IF( TR.LE.4.9169D2 ) GOTO 25
C       IF( TR.LE.9.5969D2 ) GOTO 20
C           TS > 959.69 R (260 C)
C   TR = 9.5969D2
C   WRITE(1,15)
C 15  FORMAT(5X,' TS IN PSHS SUB. > 260 C ')
C       491.69 R (0 C) < TS <= 959.69 R (260 C)
C 20  A1 = -2.74055D4
C       A2 = 5.41896D1*TR
C       A3 = -4.513D-2*TR*TR
C       A4 = 2.15321D-5*TR*TR*TR
C       A5 = -4.62027D-9*TR*TR*TR*TR
C       A6 = 2.41613D0*TR
C       A7 = -1.21547D-3*TR*TR
C       PS = 3.20618D3*DEXP((A1+A2+A3+A4+A5)/(A6+A7))
C       GOTO 30
C           459.69 R (-17.78 C) < TS <= 491.69 R (0 C)
C 25  PS = DEXP(2.33924D1-(1.12866489D4/TR)-(4.6057D-1*DLOG(TR)))
C
C *****
C *          CAL. HS          *
C *****
C
C ASSUME MOIST AIR TO BE IDEAL GASES, THIS METHOD CAN FIND HS IN
C RANGE OF TEMPERATURE < 100 C ( OR PS <= 1 ATM )
C
C 30 IF( PS.GT.1.4696D1 ) GOTO 40
C           0 < PS <= 14.696 PSIA (1 ATM)
C   HS = 6.2198D-1*PS/(1.4696D1-PS)
C   GOTO 60
C   RETURN
C   PS > 14.696 PSIA (1 ATM) CAN'T USED THIS METHOD
C 40 WRITE(1,50) RT,IK,I
C 50 FORMAT(5X,' AT RT = ',D13.5,' HR. AND IK = ',12,' AND I = ',12,'
C   VAPOR PRESSURE OF WATER VAPOR > 14.696 PSIA, AND CAN'T FIND HS.')
C   STOP
C 60 CALL LHVP(TS,HFG)
C   WRITE(1,120) TS,TR,PS,HS,HFG
C 120 FORMAT(2X,F6.2,2X,F8.3,3(2X,D13.6))
C 150 CONTINUE
C   STOP
C   END

```

```

C *****
C * SUBROUTINE LHVP FOR CAL. HFC *
C *****
C SUBROUTINE LHVP(TS,HFC)
C IMPLICIT DOUBLE PRECISION (A-H,O-Z), INTEGER*4 (I-N)

C CHANGE TEMPERATURE FROM CELCIUS TO RANKINE DEGREE

C TR = 1.8D0*TS + 4.9169D2
C IF( TR.GT.4.5969D2 ) GOTO 10
C TS <= 459.69 R (-17.78 C)
C TR = 4.5969D2
C WRITE(1,5)
C 5 FORMAT(5X,' TS IN LHVP SUB. < -17.78 C ')
C GOTO 40
C 10 IF( TR.LT.4.9169D2 ) GOTO 40
C IF( TR.LE.6.0969D2 ) GOTO 30
C IF( TR.LE.9.5969D2 ) GOTO 20
C TS > 959.69 R (260 C)
C TR = 9.5969D2
C WRITE(1,15)
C 15 FORMAT(5X,' TS IN LHVP SUB. > 260 C ')
C CAL. LATENT HEAT OF VAPORIZATION IN BTU/LB WATER UNIT
C 609.69 R (65.55 C) < TS <= 959.69 R (260 C)
C 20 HFG = DSQRT(1.354673214D6-(9.125275587D-1*TR*TR))
C GOTO 50
C 491.69 R (0 C) < TS <= 609.69 R (65.55 C)
C 30 HFG = 1.0758965D3-(5.6983D-1*(TR-4.9169D2))
C GOTO 50
C 459.69 R (-17.78 C) < TS <= 491.69 R (0 C)
C 40 HFG = 1.220844D3-(5.077D-2*(TR-4.5969D2))
C CONVERT LATENT HEAT OF VAPORIZATION TO KJ/KG WATER
C 50 HFG = 2.326D3*HFG
C RETURN

C *****
C *****
C * THE LAST LINE OF PROGRAM *
C *****
C END

```

ศูนย์วิทยทรัพยากร
 คุุภาตงกรณ์มหาวิทยาลัย

ภาคผนวก ข

ข้อมูลการซีมูเลตทั้งหมด

รายละเอียดของ ข้อมูลที่ได้จากการซีมูเลตทั้งหมดสามารถแบ่งออกเป็น 2 กลุ่มใหญ่ๆ คือ

1. ทดสอบความถูกต้องของแบบจำลอง แบ่งออกเป็น 2 กลุ่มย่อยๆ คือ

การซีมูเลต
1.1 กรณีการอบแห้ง เบคหนา ข้อมูลประกอบด้วยผลการทดลอง (43) และ ผล

1.2 กรณีการอบแห้ง เบคหนา แบ่งย่อยออกเป็น 2 กลุ่มย่อยๆ คือ

การอบแห้งปกติ (2) และผลการซีมูเลต
1.2.1 ผลการทดลองอบแห้ง ชั้นมันสำปะหลังในเบคสูง 40 ซม. กรณี

การอบแห้งที่มีการผสมวัสดุในเบคเป็นครั้งคราว (ทุกๆ 150 นาที) และผลการซีมูเลต
1.2.2 ผลการทดลองอบแห้ง ชั้นมันสำปะหลังในเบคสูง 40 ซม. กรณี

การอบแห้งที่มีการผสมวัสดุในเบคเป็นครั้งคราว (ทุกๆ 150 นาที) และผลการซีมูเลต
2. ข้อมูลผลการซีมูเลตการอบแห้ง เมล็ดข้าวโพด (shelled corn drying)
ในเชิงอุตสาหกรรม เพื่อศึกษาอิทธิพลของตัวแปรสำคัญ 4 ตัวแปร คือ

2.1 อิทธิพลของอุณหภูมิอบแห้ง

2.2 อิทธิพลของความชื้นเริ่มต้นของ เมล็ดข้าวโพด

2.3 อิทธิพลของความเร็วลมร้อน

2.4 อิทธิพลของช่วงห่างของเวลาในการผสมวัสดุในเบค

(สำหรับรายละเอียดของเงื่อนไขมีอยู่ในตาราง 4.1-4.5 ด้วย)

ศูนย์วิทยทรัพยากร
จุฬาลงกรณ์มหาวิทยาลัย

ภาคผนวก ช.1.1

กรณีการอบแห้ง เบทบาง

ผลการทดลอง

	ขนาดของ เครื่องอบแห้ง	
พื้นที่หน้าตัดของ เบท	1.0	m ²
เบตสูง	6	ซม.
	คุณสมบัติของ วัสดุชั้น	
ความหนาแน่นของ มันสำปะหลัง แห้ง		
(dry bone density)	1600	kg dry solid/m ³
ความชื้นวิกฤต	0.10	d.b.
ความชื้นสมดุล	0.0	d.b.
	เงื่อนไขของการอบแห้ง	
เส้นผ่าศูนย์กลาง สมมูลของ เม็คอนุภาค	0.006	m
อัตราส่วนช่องว่าง	0.50	
ความชื้นมัน เริ่มคั้น	0.50	d.b.
ความชื้นมันสุดท้าย	0.05	d.b.
อุณหภูมิลมร้อน	80	°C
ความชื้นของลมร้อน	0.02	kg water/kg dry air
ความเร็วลมร้อน	1.0	m/s

ผลการทดลองกรณีการอบแห้ง เบทบาง (43) แสดงอัตราการอบแห้งเฉลี่ยกับความชื้นของวัสดุ และเวลาที่ใช้ในการอบแห้ง

ความชื้นเฉลี่ย (d.b.)	อัตราการอบแห้งเฉลี่ย (kg/(m ² hr))	เวลาที่ใช้ (min.)
0.5-0.405	66.77	4.08
0.324	63.43	
0.234	59.43	
0.162	51.41	
0.081	38.06	
0.05	24.70	18.9

เวลาที่ใช้ในการอบแห้งทั้งหมด 22.98 นาที

หน้างานพิมพ์

***** NECESSARY DATA INPUT *****

DIMENSION OF DRYER

HL(M) = 0.600000D-01 AREA(M**2) = 0.100000D-01

PROPERTIES OF SOLID

CPS(KJ/KG DRY SOLID/ C) = 0.1675D 01 CPW(KJ/KG WATER/ C) = 0.4187D 01
WC(D.B.) = 0.100000D 00 WE(D.B.) = 0.100000D-04

PROPERTIES OF AIR

CPA(KJ/KG DRY AIR/ C) = 0.1005D 01 CPV(KJ/KG WATER VAP./ C) = 0.1926D 01

CONDITIONS OF DRYING

DEG(M) = 0.600000D-02 ESP = 0.800000D 00
SPAREA(M**2/M**3) = 0.500000D 03 SX(KG DRY SOLID/M**3) = 0.800000D 03
TSD(C) = 0.300000D 02 WVAVE(D.B.) = 0.500000D 00
N(-) = 6

TFA(C) = 0.300000D 02 HFA = 0.200000D-01
VEL. (M/HR) = 0.309200D 04 R(-) = 0.000000D 00
HII = 0.200000D-01 HIO = 0.200000D-01
TAIO(C) = 0.800000D 02 HVS(KJ/KG WATER) = 0.2491D 04

MASS & HEAT TRANSFER BY UNIT VOL.

CKA(KG WATER/(H.M**3.HR)) = 0.244462D 06 HGA(KJ/(M**3 HR C) = 0.2569D 06

ENERGY CONSUMPTION

QTOT(KJ) = 0.0000D 00 QZ(KJ) = 0.0000D 00

TIME TO BEGIN RUNNING

RT(HR) = 0.000000D 00 STEP TO INTEGRATE
TDT(SEC) = 0.500000D-02

STEP TO PRINT RESULTS

JTPRT = 12000 STEP TO MIXING SOLID IN BED
JTMIX = 50000

CONDITION TO STOP RUNNING

WSTOP(D.B.) = 0.500000D-01 TSTOP(HR) = 0.100000D 01

SETTING UP CALCULATION
NM(-) = 24 GN(-) = 0.600D 01
VOLB(M**3) = 0.600000D-03 CMDS(KG DRY SOLID) = 0.480000D 00
DT(HR) = 0.1388889D-05 CMFAO(KG FRESH AIR/HR) = 0.3494108D 02
RHFA(KG FRESH AIR/M**3) = 0.1130048D 01 CMF(KG FRESH AIR/(M**3.HR)) = 0.3494108D 06
CMFA(KG FRESH AIR/HR) = 0.3494108D 02
HFC(KJ/KG WATER) AT 30 C = 0.2431D 04

AT TIME (HR) = 0.000000D 00 HI(-) = 0.200000D-01 TAIO(C) = 0.800000D 02

Table with 7 columns: POS., W, H, TS, TA, WST, HVTS. Rows 1-6 showing values for each parameter.

GLHR(KCAL/HR) = 0.000000D 00 GTOT(KCAL) = 0.000000D 00
WAVE(D.B.) = 0.50000000D 00 TSAVE(C) = 0.30000000D 02
RAVE(KG WATER/HR) = 0.00000000D 00 WSTAVE(-) = 0.50004000D 01
THEFF(%) = 0.0000D 00 GZ(KCAL) = 0.00000000D 00

AT TIME (HR) = 0.100000D 00 HI(-) = 0.200000D-01 TAI0(C) = 0.800000D 02

POS.	W	H	TS	TA	WST	HVT5
1	0.167856D 00	0.277813D-01	0.360345D 02	0.616099D 02	0.167863D 01	0.577187D 03
2	0.308087D 00	0.323519D-01	0.360263D 02	0.510486D 02	0.308107D 01	0.577191D 03
3	0.389946D 00	0.350487D-01	0.360346D 02	0.448984D 02	0.389975D 01	0.577187D 03
4	0.438068D 00	0.366442D-01	0.360440D 02	0.412879D 02	0.438102D 01	0.577181D 03
5	0.466472D 00	0.375896D-01	0.360511D 02	0.391983D 02	0.466508D 01	0.577177D 03
6	0.483275D 00	0.381503D-01	0.360559D 02	0.378987D 02	0.483314D 01	0.577175D 03

GLHR(KCAL/HR) = 0.435366D 03 GTOT(KCAL) = 0.4353658D 02

WAVE(D.B.) = 0.37561720D 00 TSAVE(C) = 0.36041064D 02

RAVE(KG WATER/HR) = 0.59703742D 00 WSTAVE(-) = 0.37564477D 01

THEFF(%) = 0.7962D 02 GZ(KCAL) = 0.34464958D 02

AT TIME (HR) = 0.200000D 00 HI(-) = 0.200000D-01 TAI0(C) = 0.800000D 02

POS.	W	H	TS	TA	WST	HVT5
1	0.100000D-04	0.200000D-01	0.797484D 02	0.798960D 02	0.246139D-15	0.551777D 03
2	0.512729D-01	0.267676D-01	0.387859D 02	0.627261D 02	0.512680D 00	0.575619D 03
3	0.235915D 00	0.315810D-01	0.358384D 02	0.516104D 02	0.235929D 01	0.577295D 03
4	0.347007D 00	0.344247D-01	0.358511D 02	0.451481D 02	0.347032D 01	0.577291D 03
5	0.412487D 00	0.361103D-01	0.358646D 02	0.413596D 02	0.412518D 01	0.577284D 03
6	0.451195D 00	0.371113D-01	0.358746D 02	0.391276D 02	0.451230D 01	0.577278D 03

GLHR(KCAL/HR) = 0.435366D 03 GTOT(KCAL) = 0.6707316D 02

WAVE(D.B.) = 0.24964786D 00 TSAVE(C) = 0.43660492D 02

RAVE(KG WATER/HR) = 0.60084512D 00 WSTAVE(-) = 0.24966283D 01

THEFF(%) = 0.8013D 02 GZ(KCAL) = 0.69347860D 02

AT TIME (HR) = 0.300000D 00 HI(-) = 0.200000D-01 TAI0(C) = 0.800000D 02

POS.	W	H	TS	TA	WST	HVT5
1	0.100000D-04	0.200000D-01	0.800000D 02	0.800000D 02	0.241801D-15	0.551630D 03
2	0.100000D-04	0.200000D-01	0.799952D 02	0.799980D 02	0.241801D-15	0.551633D 03
3	0.107515D-04	0.200017D-01	0.733152D 02	0.772352D 02	0.751605D-05	0.555486D 03
4	0.143888D 00	0.272691D-01	0.354766D 02	0.597814D 02	0.143893D 01	0.577505D 03
5	0.292488D 00	0.314732D-01	0.353971D 02	0.497152D 02	0.292507D 01	0.577550D 03
6	0.379956D 00	0.339025D-01	0.353481D 02	0.438268D 02	0.379984D 01	0.577578D 03

GLHR(KCAL/HR) = 0.435366D 03 GTOT(KCAL) = 0.1306097D 03

WAVE(D.B.) = 0.13606057D 00 TSAVE(C) = 0.56588704D 02

RAVE(KG WATER/HR) = 0.58230309D 00 WSTAVE(-) = 0.13606417D 01

THEFF(%) = 0.7766D 02 GZ(KCAL) = 0.10078689D 03

AT TIME (HR) = 0.350000D 00 HI(-) = 0.200000D-01 TAI0(C) = 0.800000D 02

POS.	W	H	TS	TA	WST	HVT5
1	0.100000D-04	0.200000D-01	0.800000D 02	0.800000D 02	0.241801D-15	0.551630D 03
2	0.100000D-04	0.200000D-01	0.800000D 02	0.800000D 02	0.241801D-15	0.551630D 03
3	0.100000D-04	0.200000D-01	0.799758D 02	0.799700D 02	0.241801D-15	0.551644D 03
4	0.386353D-02	0.223456D-01	0.415252D 02	0.642703D 02	0.385392D 01	0.566863D 03
5	0.186432D 00	0.284884D-01	0.352990D 02	0.551308D 02	0.186441D 01	0.577606D 03
6	0.317502D 00	0.321577D-01	0.353604D 02	0.469865D 02	0.317523D 01	0.577571D 03

GLHR(KCAL/HR) = 0.435366D 03 GTOT(KCAL) = 0.1523780D 03

WAVE(D.B.) = 0.84637917D-01 TSAVE(C) = 0.60797953D 02

RAVE(KG WATER/HR) = 0.56963943D 00 WSTAVE(-) = 0.84636381D 00

THEFF(%) = 0.7597D 02 GZ(KCAL) = 0.11501838D 03

AT TIME (HR) = 0.400000D 00 HI(-) = 0.200000D-01 TAI0(C) = 0.800000D 02

POS.	W	H	TS	TA	WST	HVT5
1	0.100000D-04	0.200000D-01	0.800000D 02	0.800000D 02	0.241801D-15	0.551630D 03
2	0.100000D-04	0.200000D-01	0.800000D 02	0.800000D 02	0.241801D-15	0.551630D 03
3	0.100000D-04	0.200000D-01	0.799799D 02	0.800000D 02	0.241801D-15	0.551630D 03
4	0.100000D-04	0.200000D-01	0.798781D 02	0.799496D 02	0.243970D-15	0.551702D 03
5	0.321479D-01	0.260485D-01	0.413703D 02	0.638541D 02	0.321411D 00	0.574146D 03
6	0.220923D 00	0.310931D-01	0.357680D 02	0.522298D 02	0.220935D 01	0.577335D 03

GLHR(KCAL/HR) = 0.435366D 03 GTOT(KCAL) = 0.1741463D 03

WAVE(D.B.) = 0.42185132D-01 TSAVE(C) = 0.66169395D 02

RAVE(KG WATER/HR) = 0.54937784D 00 WSTAVE(-) = 0.42179350D 00

THEFF(%) = 0.7327D 02 GZ(KCAL) = 0.12677420D 03

ภาคผนวก ช.1.2.1

กรณีการอบแห้งเบคหนา (ชั้นมันสำปะหลังในเบคสูง 40 ซม.) ในกรณีการอบแห้งปกติ

ผลการทดลอง

ขนาดของ เครื่องอบแห้ง		
เส้นผ่าศูนย์กลางของ เบค	10.5	ซม.
เบคสูง	40	ซม.
คุณสมบัติของ วัสดุชั้น		
ความหนาแน่นของ มันสำปะหลัง แห้ง (dry bone density)	924	kg dry solid/m ³
ความชื้นวิกฤต	3.85	d.b.
ความชื้นสมดุล	0.0	d.b.
เงื่อนไขของการอบแห้ง		
ชั้นมันสำปะหลัง ขนาด	0.5x0.5x0.3	ซม.
เส้นผ่าศูนย์กลาง สมมูลของ ชั้นมัน	0.409x10 ⁻²	m
อัตราส่วนช่องว่าง	0.768	
ความชื้นมัน เริ่มต้น	1.68	d.b.
ความชื้นมัน สุดท้าย	0.130	d.b.
อุณหภูมิลมร้อน	60	°C
ความชื้นของลมร้อน	0.018	kg water/kg dry air
ความเร็วลมร้อน	0.6	m/s
ไม่มีการผสมวัสดุในเบค		

ผลการทดลองการอบแห้ง ขึ้นมันสำปะหลังในเบคสูง 40 ซม. กรณีการอบแห้งปกติ (2)
การกระจายความชื้นของวัสดุ (มาตรฐานแห้ง) ที่ตำแหน่งต่างๆภายในเบค และเวลาต่างๆ

TIME (MIN.)	LENGTH (C.M.)								AVE
	0.05	0.1	0.15	0.2	0.25	0.3	0.35	0.4	
0	1.680	1.680	1.680	1.680	1.680	1.680	1.680	1.680	1.680
30	0.675	1.333	1.588	1.659	1.668	1.680	1.675	1.664	1.493
60	0.234	0.721	1.296	1.563	1.626	1.637	1.643	1.626	1.293
90	0.066	0.279	0.756	1.332	1.555	1.615	1.621	1.610	1.104
120	0.027	0.086	0.307	0.801	1.323	1.534	1.588	1.572	0.905
165	0.016	0.027	0.071	0.226	0.561	1.053	1.419	1.514	0.611
195	0.009	0.016	0.038	0.092	0.264	0.625	1.145	1.417	0.451
225	0.005	0.005	0.021	0.039	0.099	0.276	0.627	1.097	0.271
255	0.000	0.005	0.011	0.022	0.038	0.104	0.296	0.675	0.144
285	0.000	0.005	0.005	0.016	0.016	0.041	0.121	0.318	0.065
305	0.000	0.000	0.000	0.005	0.011	0.019	0.040	0.135	0.026

ศูนย์วิทยทรัพยากร
จุฬาลงกรณ์มหาวิทยาลัย

ผลการชิมูเลต

ผลการชิมูเลตการอบแห้งชิ้นมันสำปะหลังในเบคสูง 40 ซม. กรณีการอบแห้งปกติ (2)
การกระจายความชื้นของวัสดุ (มาตรฐานแห้ง) ที่ตำแหน่งต่างๆ ภายในเบคและเวลาต่างๆ
(เงื่อนไขของการชิมูเลตนั้นมีแสดงในตาราง 4.1)

TIME (MIN.)	LENGTH (C.M.)								AVE
	0.05	0.1	0.15	0.2	0.25	0.3	0.35	0.4	
0	1.6800	1.680	1.680	1.680	1.680	1.680	1.680	1.680	1.680
30	0.9741	1.2958	1.4757	1.5727	1.6240	1.6509	1.6650	1.6723	1.4913
60	0.3690	0.8828	1.2358	1.4412	1.5538	1.6139	1.6456	1.6622	1.3005
90	0.0288	0.4186	0.9139	1.2529	1.4503	1.5586	1.6164	1.6468	1.1108
120	0.0002	0.0466	0.4663	0.9494	1.2740	1.4620	1.5648	1.6197	0.9229
165	0.0001	0.0001	0.0070	0.2758	0.7861	1.1721	1.4045	1.5338	0.6474
195	0.0001	0.0001	0.0001	0.0118	0.3198	0.8270	1.1981	1.4193	0.4720
225	0.0001	0.0001	0.0001	0.0001	0.0191	0.3651	0.8667	1.2230	0.3093
255	0.0001	0.0001	0.0001	0.0001	0.0001	0.0298	0.4112	0.9050	0.1683
285	0.0001	0.0001	0.0001	0.0001	0.0001	0.0002	0.0444	0.4576	0.0628
305	0.0001	0.0001	0.0001	0.0001	0.0001	0.0001	0.0016	0.1670	0.0288
307	0.0001	0.0001	0.0001	0.0001	0.0001	0.0001	0.0001	0.1300	0.0163

ศูนย์วิทยทรัพยากร
จุฬาลงกรณ์มหาวิทยาลัย

ภาคผนวก ช.1.2.2

กรณีการอบแห้ง เบดหนา ในกรณีที่มีการผสมวัสดุเป็นครั้งคราว (ทุกๆ 150 นาที)

ผลการทดลอง

ขนาดของ เครื่องอบแห้ง	
เส้นผ่าศูนย์กลางของ เบด	10.5 ซม.
เบดสูง	40 ซม.
คุณสมบัติของ วัสดุขึ้น	
ความหนาแน่นของ มันสำปะหลัง แห้ง (dry bone density)	924 kg dry solid/m ³
ความชื้นวิกฤต	3.85 d.b.
ความชื้นสมดุล	0.0 d.b.
เงื่อนไขของการอบแห้ง	
ชิ้นมันสำปะหลัง ขนาด	0.5x0.5x0.3 ซม.
เส้นผ่าศูนย์กลางสมมูลของ ชิ้นมัน	0.409×10^{-2} m
อัตราส่วนช่องว่าง	0.768
ความชื้นมัน เริ่มต้น	1.68 d.b.
ความชื้นมัน สิ้นสุดท้าย	0.130 d.b.
อุณหภูมิลมร้อน	60 °C
ความชื้นของลมร้อน	0.018 kg water/kg dry air
ความเร็วลมร้อน	0.6 m/s
มีการผสมวัสดุในเบดทุกๆ	150 min.

ผลการทดลองการอบแห้งชิ้นมันสำปะหลังในเบคสูง 40 ซม. กรณีการอบแห้งที่มีการผสมวัสดุในเบคทุกๆ 150 นาที (2) การกระจายความชื้นของวัสดุ (มาตรฐานแห้ง) ที่ตำแหน่งต่างๆภายในเบค และเวลาต่างๆ

TIME (MIN.)	LENGTH (C.M.)								AVE
	0.05	0.1	0.15	0.2	0.25	0.3	0.35	0.4	
0	1.605	1.605	1.605	1.605	1.605	1.605	1.605	1.605	1.6050
75	0.094	0.454	1.133	1.423	1.531	1.557	1.563	1.529	1.1605
150	0.026	0.030	0.096	0.377	0.914	1.310	1.455	1.439	0.7059
	MIXING SOLID IN BED								
150	0.706	0.706	0.706	0.706	0.706	0.706	0.706	0.706	0.7059
225	0.032	0.055	0.106	0.194	0.338	0.476	0.581	0.621	0.3008
300	0.002	0.008	0.026	0.013	0.005	0.029	0.048	0.013	0.0180
	MIXING SOLID IN BED								
300	0.018	0.018	0.018	0.018	0.018	0.018	0.018	0.018	0.0180

ศูนย์วิทยทรัพยากร
จุฬาลงกรณ์มหาวิทยาลัย

ผลการขีมูล

ผลการขีมูลการอบแห้งขึ้นมันสำปะหลังในเบคสูง 40 ซม. กรณีการอบแห้งปกติ (2)
การกระจายความชื้นของวัสดุ (มาตรฐานแห้ง) ที่ตำแหน่งต่างๆ ภายในเบคและเวลาต่างๆ
(เงื่อนไขของการขีมูลนั้นมีแสดงในตาราง 4.1)

TIME (MIN.)	LENGTH (C.M.)								
	0.05	0.1	0.15	0.2	0.25	0.3	0.35	0.4	AVE
0	1.605	1.605	1.605	1.605	1.605	1.605	1.605	1.605	1.6050
75	0.1854	0.7065	1.1176	1.3640	1.5000	1.5721	1.6100	1.6297	1.2106
150	0.0001	0.0008	0.3238	0.6300	1.0647	1.3333	1.4830	1.5632	0.7759
	MIXING SOLID IN BED								
150	0.7759	0.7759	0.7759	0.7759	0.7759	0.7759	0.7759	0.7759	0.7759
225	0.0006	0.0138	0.1052	0.2719	0.4315	0.5508	0.6308	0.6816	0.3358
300	0.0001	0.0001	0.0001	0.0001	0.0002	0.0014	0.0197	0.1260	0.0185
	MIXING SOLID IN BED								
300	0.0185	0.0185	0.0185	0.0185	0.0185	0.0185	0.0185	0.0185	0.0185

ศูนย์วิทยทรัพยากร
จุฬาลงกรณ์มหาวิทยาลัย

ภาคผนวก ข.2.1

ผลการชี้มูลเหตุการอบแห้งเมล็ดข้าวโพด เพื่อศึกษาอิทธิพลของอุณหภูมิความร้อน



ศูนย์วิทยทรัพยากร
จุฬาลงกรณ์มหาวิทยาลัย

ตัวอย่างผลการขึ้นเลิศความชื้น, อุณหภูมิ ของวัสดุขึ้นและลมร้อน ภายในเบคที่ตำแหน่งต่างๆ
เงื่อนไข $T_A = 60^\circ\text{C}$, $W_{in} = 0.25 \text{ d.b.}$ และ $V_{bed} = 0.4634 \text{ m/s}$ 3 กรณีคือ

1. กรณีไม่มีการหมุนเวียนลมทั้ง และไม่มีการผสมวัสดุในเบค
2. กรณีไม่มีการหมุนเวียนลมทั้ง และมีการผสมวัสดุในเบค
3. กรณีที่มีการหมุนเวียนลมทั้ง และมีการผสมวัสดุในเบค

1. กรณีไม่มีการหมุนเวียนลมทั้ง และไม่มีการผสมวัสดุในเบค



ศูนย์วิทยทรัพยากร
จุฬาลงกรณ์มหาวิทยาลัย

F2.out = 0, RM

 AT REAL TIME (HR) RT = 0.000000 00
 HI(-) = 0.200000-01 TAI(C) = 0.600000 02

POS.	W	H	TS	TA
1	0.250000 00	0.200000-01	0.300000 02	0.800000 02
2	0.250000 00	0.200000-01	0.300000 02	0.800000 02
3	0.250000 00	0.200000-01	0.300000 02	0.800000 02
4	0.250000 00	0.200000-01	0.300000 02	0.800000 02
5	0.250000 00	0.200000-01	0.300000 02	0.800000 02
6	0.250000 00	0.200000-01	0.300000 02	0.800000 02
7	0.250000 00	0.200000-01	0.300000 02	0.800000 02
8	0.250000 00	0.200000-01	0.300000 02	0.800000 02

QLHR(KJ/HR) = 0.000000 05 QTOT(KJ) = 0.000000 00

WAVE = 0.25000000 00 TSAVE = 0.30000000 02
 RAVE = 0.00000000 00 THEFF (X) = 0.000000 00

 AT REAL TIME (HR) RT = 0.250000 00
 HI(-) = 0.200000-01 TAI(C) = 0.600000 02

POS.	W	H	TS	TA
1	0.128671D 00	0.20564D-01	0.349640D 02	0.373337D 02
4	0.251531D 00	0.31676D-01	0.325405D 02	0.325473D 02
8	0.251819D 00	0.31702D-01	0.325498D 02	0.325494D 02

QLHR(KJ/HR) = 0.10739D 06 QTOT(KJ) = 0.288D 05

WAVE = 0.23383485D 00 TSAVE = 0.32888954D 02
 RAVE = 0.38018402D 02 THEFF (X) = 0.8142D 00

 AT REAL TIME (HR) RT = 0.500000 00
 HI(-) = 0.200000-01 TAI(C) = 0.600000 02

POS.	W	H	TS	TA
1	0.495580D-01	0.20289D-01	0.558089D 02	0.580232D 02
4	0.250094D 00	0.30151D-01	0.317179D 02	0.317812D 02
8	0.251281D 00	0.30317D-01	0.318078D 02	0.318028D 02

QLHR(KJ/HR) = 0.10739D 06 QTOT(KJ) = 0.537D 05

WAVE = 0.21838823D 00 TSAVE = 0.34897488D 02
 RAVE = 0.37443515D 02 THEFF (X) = 0.8471D 00

 AT REAL TIME (HR) RT = 0.750000 00
 HI(-) = 0.200000-01 TAI(C) = 0.600000 02

POS.	W	H	TS	TA
1	0.494000D-01	0.20000D-01	0.589892D 02	0.599893D 02
4	0.247398D 00	0.31233D-01	0.323739D 02	0.324778D 02
8	0.251725D 00	0.31454D-01	0.324212D 02	0.324195D 02

QLHR(KJ/HR) = 0.10739D 06 QTOT(KJ) = 0.805D 05

WAVE = 0.19919385D 00 TSAVE = 0.38703298D 02
 RAVE = 0.12777138D 02 THEFF (X) = 0.2891D 00

 AT REAL TIME (HR) RT = 0.100000 01
 HI(-) = 0.200000-01 TAI(C) = 0.600000 02

POS.	W	H	TS	TA
1	0.494000D-01	0.20000D-01	0.800000 02	0.800000 02
4	0.232594D 00	0.31348D-01	0.32878D 02	0.331375D 02
8	0.251758D 00	0.31584D-01	0.324710D 02	0.324728D 02

QLHR(KJ/HR) = 0.10739D 06 QTOT(KJ) = 0.107D 06

WAVE = 0.18238977D 00 TSAVE = 0.39715022D 02
 RAVE = 0.18937154D 02 THEFF (X) = 0.4285D 00

 AT REAL TIME (HR) RT = 0.125000 01
 HI(-) = 0.200000-01 TAI(C) = 0.600000 02

POS.	W	H	TS	TA
1	0.494000D-01	0.20000D-01	0.800000 02	0.800000 02
4	0.178423D 00	0.29073D-01	0.332594D 02	0.355242D 02
8	0.251207D 00	0.30205D-01	0.317270D 02	0.317295D 02

QLHR(KJ/HR) = 0.10739D 06 QTOT(KJ) = 0.134D 08

WAVE = 0.18520872D 00 TSAVE = 0.42171524D 02
 RAVE = 0.22808490D 02 THEFF (X) = 0.5161D 00

 AT REAL TIME (HR) RT = 0.150000 01
 HI(-) = 0.200000-01 TAI(C) = 0.600000 02

POS.	W	H	TS	TA
1	0.494000D-01	0.20000D-01	0.800000 02	0.800000 02
4	0.881458D-01	0.28874D-01	0.398410D 02	0.417488D 02
8	0.251805D 00	0.31314D-01	0.323501D 02	0.323490D 02

QLHR(KJ/HR) = 0.10739D 06 QTOT(KJ) = 0.181D 08

WAVE = 0.14780975D 00 TSAVE = 0.43884493D 02
 RAVE = 0.21907289D 01 THEFF (X) = 0.4958D 00

 AT REAL TIME (HR) RT = 0.175000 01
 HI(-) = 0.200000-01 TAI(C) = 0.600000 02

POS.	W	H	TS	TA
1	0.494000D-01	0.20000D-01	0.800000 02	0.800000 02
4	0.494000D-01	0.20000D-01	0.598882D 02	0.598884D 02
8	0.251479D 00	0.31812D-01	0.325052D 02	0.325130D 02

QLHR(KJ/HR) = 0.10739D 06 QTOT(KJ) = 0.188D 08

WAVE = 0.13098928D 00 TSAVE = 0.48822842D 02
 RAVE = 0.72314804D 02 THEFF (X) = 0.6134D 00

 AT REAL TIME (HR) RT = 0.200000 01
 HI(-) = 0.200000-01 TAI(C) = 0.600000 02

POS.	W	H	TS	TA
1	0.494000D-01	0.20000D-01	0.800000 02	0.800000 02
4	0.494000D-01	0.20000D-01	0.800000 02	0.800000 02
8	0.250041D 00	0.30524D-01	0.319119D 02	0.319854D 02

QLHR(KJ/HR) = 0.10739D 06 QTOT(KJ) = 0.215D 08

WAVE = 0.11404080D 00 TSAVE = 0.49422312D 02
 RAVE = 0.11047757D 02 THEFF (X) = 0.8134D 00

 AT REAL TIME (HR) RT = 0.2250D 01
 HI(-) = 0.200000-01 TAI(C) = 0.600000 02

POS.	W	H	TS	TA
1	0.494000D-01	0.20000D-01	0.800000 02	0.800000 02
4	0.494000D-01	0.20000D-01	0.800000 02	0.800000 02
8	0.248789D 00	0.31018D-01	0.322785D 02	0.324010D 02

QLHR(KJ/HR) = 0.10739D 06 QTOT(KJ) = 0.242D 08

WAVE = 0.98548275D-01 TSAVE = 0.50711634D 02
 RAVE = 0.14151047D 02 THEFF (X) = 0.8134D 00

```

*****
HI(-) = 0.200000-01          AT REAL TIME (HR) RT = 0.25000 01          TAI( C ) = 0.800000 02
*****
      W      N      H      TS      TA
POS. 1 0.4840000-01 0.200000-01 0.800000 02 0.800000 02
      4 0.4840000-01 0.200000-01 0.800000 02 0.800000 02
      8 0.2303730 00 0.313110-01 0.3288580 02 0.3318080 02
-----
QLHR( KJ/HR ) = 0.107380 08      QTOT( KJ ) = 0.2880 08
-----
      WAVE = 0.798588220-01      TSAVE = 0.535219540 02
      HAVE = 0.184318050 02      THEFF ( X ) = 0.81340 00
-----
HI(-) = 0.200000-01          AT REAL TIME (HR) RT = 0.25000 01          TAI( C ) = 0.800000 02
*****
      W      N      H      TS      TA
POS. 1 0.4840000-01 0.200000-01 0.800000 02 0.800000 02
      4 0.4840000-01 0.200000-01 0.800000 02 0.800000 02
      8 0.1880910 00 0.284380-01 0.3373170 02 0.3869280 02
-----
QLHR( KJ/HR ) = 0.107380 08      QTOT( KJ ) = 0.2830 08
-----
      WAVE = 0.84321280-01      TSAVE = 0.565337410 02
      HAVE = 0.378001070 02      THEFF ( X ) = 0.81340 00
-----
AT REAL TIME RT = 0.28180 01 HR.. WAVE = 0.8034890-01 +
BELOW OR EQUAL 0.13700 00 THE PROGRAM MUST BE ENDED AND TOTAL +
      W      N      H      TS      TA
POS. 1 0.4840000-01 0.200000-01 0.800000 02 0.800000 02
      4 0.4840000-01 0.200000-01 0.800000 02 0.800000 02
      8 0.1368980 00 0.288220-01 0.3468880 02 0.3707890 02
-----

```

ศูนย์วิทยทรัพยากร
จุฬาลงกรณ์มหาวิทยาลัย

2. กรณีไม่มีการหมุนเวียนลมทั้ง และการผสมวัสดุในเบค

235

7731

***** AT REAL TIME (HR) RT = 0.600000 00 TAI(C) = 0.600000 02 *****
 HI(-) = 0.200000-01
 POS. W N H TS TA
 1 0.250000 00 0.200000-01 0.300000 02 0.600000 02
 2 0.250000 00 0.200000-01 0.300000 02 0.600000 02
 3 0.250000 00 0.200000-01 0.300000 02 0.600000 02
 4 0.250000 00 0.200000-01 0.300000 02 0.600000 02
 5 0.250000 00 0.200000-01 0.300000 02 0.600000 02
 6 0.250000 00 0.200000-01 0.300000 02 0.600000 02
 7 0.250000 00 0.200000-01 0.300000 02 0.600000 02
 8 0.250000 00 0.200000-01 0.300000 02 0.600000 02
 QLHR(KJ/HR) = 0.000000 05 QTOT(KJ) = 0.600000 00
 WAVE = 0.25000000 00 TSAVE = 0.30000000 02
 RAVE = 0.60000000 00 THEFF (%) = 0.0000 00
 ***** AT REAL TIME (HR) RT = 0.250000 00 TAI(C) = 0.600000 02 *****
 HI(-) = 0.200000-01
 POS. W N H TS TA
 1 0.128671D 00 0.285640-01 0.348640 02 0.373370 02
 4 0.251831D 00 0.316780-01 0.324400 02 0.324470 02
 8 0.251818D 00 0.317020-01 0.324480 02 0.324494 02
 QLHR(KJ/HR) = 0.107380 08 QTOT(KJ) = 0.2880 03
 WAVE = 0.23393465D 00 TSAVE = 0.32866654D 02
 RAVE = 0.30016402D 02 THEFF (%) = 0.8142D 00
 ***** AT REAL TIME (HR) RT = 0.500000 00 TAI(C) = 0.600000 02 *****
 HI(-) = 0.200000-01
 POS. W N H TS TA
 1 0.49554000-01 0.202680-01 0.556080 02 0.600000 02
 4 0.250094D 00 0.301510-01 0.317180 02 0.317180 02
 8 0.251281D 00 0.303170-01 0.316078 02 0.316028 02
 QLHR(KJ/HR) = 0.107380 08 QTOT(KJ) = 0.5370 05
 WAVE = 0.21538823D 00 TSAVE = 0.34897468D 02
 RAVE = 0.37443515D 02 THEFF (%) = 0.8471D 00
 ***** AT REAL TIME (HR) RT = 0.500000 00 TAI(C) = 0.600000 02 *****
 HI(-) = 0.200000-01
 POS. W N H TS TA
 1 0.216388D 00 0.287820-01 0.348978 02 0.352670 02
 4 0.216388D 00 0.287820-01 0.348978 02 0.352670 02
 8 0.216388D 00 0.287820-01 0.348978 02 0.352670 02
 QLHR(KJ/HR) = 0.107380 06 QTOT(KJ) = 0.5370 05
 WAVE = 0.21638823D 00 TSAVE = 0.34897468D 02
 RAVE = 0.37443515D 02 THEFF (%) = 0.8471D 00
 ***** AT REAL TIME (HR) RT = 0.750000 00 TAI(C) = 0.600000 02 *****
 HI(-) = 0.200000-01
 POS. W N H TS TA
 1 0.9551150-01 0.288110-01 0.364541 02 0.396830 02
 4 0.214357D 00 0.315580-01 0.324840 02 0.324837 02
 8 0.214745D 00 0.318210-01 0.325077 02 0.325071 02
 QLHR(KJ/HR) = 0.107380 06 QTOT(KJ) = 0.6030 05
 WAVE = 0.16686681D 00 TSAVE = 0.33033740D 02
 RAVE = 0.14497728D 02 THEFF (%) = 0.3280D 00

***** AT REAL TIME (HR) RT = 0.100000 01 TAI(C) = 0.600000 02 *****
 HI(-) = 0.200000-01
 POS. W N H TS TA
 1 0.4940010-01 0.200000-01 0.566218 02 0.596578 02
 4 0.212620D 00 0.313180-01 0.323805 02 0.324482 02
 8 0.214480D 00 0.308340-01 0.321108 02 0.321183 02
 QLHR(KJ/HR) = 0.107380 06 QTOT(KJ) = 0.1070 06
 WAVE = 0.18002328D 00 TSAVE = 0.36071562D 02
 RAVE = 0.20255142D 02 THEFF (%) = 0.4584D 00
 ***** AT REAL TIME (HR) RT = 0.100000 01 TAI(C) = 0.600000 02 *****
 HI(-) = 0.200000-01
 POS. W N H TS TA
 1 0.180023D 00 0.200000-01 0.360718 02 0.600000 02
 4 0.180023D 00 0.200000-01 0.360718 02 0.600000 02
 8 0.180023D 00 0.200000-01 0.360718 02 0.600000 02
 QLHR(KJ/HR) = 0.107380 06 QTOT(KJ) = 0.1070 08
 WAVE = 0.18002328D 00 TSAVE = 0.36071562D 02
 RAVE = 0.20255142D 02 THEFF (%) = 0.4584D 00
 ***** AT REAL TIME (HR) RT = 0.125000 01 TAI(C) = 0.600000 02 *****
 HI(-) = 0.200000-01
 POS. W N H TS TA
 1 0.6854000-01 0.367810-01 0.402248 02 0.420874 02
 4 0.177038D 00 0.311540-01 0.322816 02 0.323097 02
 8 0.177867D 00 0.313580-01 0.323758 02 0.323718 02
 QLHR(KJ/HR) = 0.107380 06 QTOT(KJ) = 0.1340 06
 WAVE = 0.18001850D 00 TSAVE = 0.33381644D 02
 RAVE = 0.25118305D 02 THEFF (%) = 0.5695D 00
 ***** AT REAL TIME (HR) RT = 0.150000 01 TAI(C) = 0.600000 02 *****
 HI(-) = 0.200000-01
 POS. W N H TS TA
 1 0.4940000-01 0.200000-01 0.566714 02 0.596741 02
 4 0.173391D 00 0.308940-01 0.322816 02 0.324365 02
 8 0.177810D 00 0.311920-01 0.322828 02 0.322812 02
 QLHR(KJ/HR) = 0.107380 06 QTOT(KJ) = 0.1810 06
 WAVE = 0.14340328D 00 TSAVE = 0.36886903D 02
 RAVE = 0.27100987D 02 THEFF (%) = 0.8134D 00
 ***** AT REAL TIME (HR) RT = 0.150000 01 TAI(C) = 0.600000 02 *****
 HI(-) = 0.200000-01
 POS. W N H TS TA
 1 0.143403D 00 0.200000-01 0.368868 02 0.600000 02
 4 0.143403D 00 0.200000-01 0.368868 02 0.600000 02
 8 0.143403D 00 0.200000-01 0.368868 02 0.600000 02
 QLHR(KJ/HR) = 0.107380 06 QTOT(KJ) = 0.1810 06
 WAVE = 0.14340328D 00 TSAVE = 0.36886903D 02
 RAVE = 0.27100987D 02 THEFF (%) = 0.8134D 00

240

MI(-) = AT REAL TIME (HR) RT = 0.175000 01
AT REAL TIME (HR) RT = 0.175000 01
TAI(C) = 0.600000 02

POS.	W	H	TS	TA
1	0.5081520-01	0.214700-01	0.5088600 02	0.5184200 02
4	0.1391000 00	0.298800-01	0.3187800 02	0.3174100 02
8	0.1404610 00	0.303580-01	0.3185600 02	0.3184870 02

GLHR(KJ/HR) = 0.107380 06
GTOT(KJ) = 0.1800 06

WAVE = 0.12354800 00
RAVE = 0.631988180 02
TSAVE = 0.344813410 02
TREF(X) = 0.61340 00

MI(-) = AT REAL TIME (HR) RT = 0.20000 01
AT REAL TIME (HR) RT = 0.20000 01
TAI(C) = 0.600000 02

POS.	W	H	TS	TA
1	0.4848000-01	0.200000-01	0.5898700 02	0.5899100 02
4	0.1281330 00	0.301430-01	0.3275000 02	0.3342110 02
8	0.1404110 00	0.303480-01	0.3177770 02	0.3178420 02

GLHR(KJ/HR) = 0.107380 06
GTOT(KJ) = 0.2150 06

WAVE = 0.107706880 00
RAVE = 0.651889180 02
TSAVE = 0.386204400 02
TREF(X) = 0.61340 00

MI(-) = AT REAL TIME (HR) RT = 0.200000 01
AT REAL TIME (HR) RT = 0.200000 01
TAI(C) = 0.600000 02

POS.	W	H	TS	TA
1	0.1077070 00	0.200000-01	0.3862040 02	0.8000000 02
4	0.1077070 00	0.200000-01	0.3862040 02	0.8000000 02
8	0.1077070 00	0.200000-01	0.3862040 02	0.8000000 02

GLHR(KJ/HR) = 0.107380 06
GTOT(KJ) = 0.2150 06

WAVE = 0.143405280 00
RAVE = 0.271009170 02
TSAVE = 0.386888030 02
TREF(X) = 0.61340 00

MI(-) = AT REAL TIME (HR) RT = 0.20000 01
AT REAL TIME (HR) RT = 0.20000 01
TAI(C) = 0.600000 02

POS.	W	H	TS	TA
1	0.1077070 00	0.200000-01	0.3862040 02	0.8000000 02
4	0.1077070 00	0.200000-01	0.3862040 02	0.8000000 02
8	0.1077070 00	0.200000-01	0.3862040 02	0.8000000 02

GLHR(KJ/HR) = 0.107380 06
GTOT(KJ) = 0.2150 06

WAVE = 0.143405280 00
RAVE = 0.271009170 02
TSAVE = 0.386888030 02
TREF(X) = 0.61340 00

MI(-) = AT REAL TIME (HR) RT = 0.20000 01
AT REAL TIME (HR) RT = 0.20000 01
TAI(C) = 0.600000 02

POS.	W	H	TS	TA
1	0.1077070 00	0.200000-01	0.3862040 02	0.8000000 02
4	0.1077070 00	0.200000-01	0.3862040 02	0.8000000 02
8	0.1077070 00	0.200000-01	0.3862040 02	0.8000000 02

GLHR(KJ/HR) = 0.107380 06
GTOT(KJ) = 0.2150 06

WAVE = 0.143405280 00
RAVE = 0.271009170 02
TSAVE = 0.386888030 02
TREF(X) = 0.61340 00

MI(-) = AT REAL TIME (HR) RT = 0.20000 01
AT REAL TIME (HR) RT = 0.20000 01
TAI(C) = 0.600000 02

POS.	W	H	TS	TA
1	0.1077070 00	0.200000-01	0.3862040 02	0.8000000 02
4	0.1077070 00	0.200000-01	0.3862040 02	0.8000000 02
8	0.1077070 00	0.200000-01	0.3862040 02	0.8000000 02

GLHR(KJ/HR) = 0.107380 06
GTOT(KJ) = 0.2150 06

ศูนย์วิทยทรัพยากร
จุฬาลงกรณ์มหาวิทยาลัย

3. การทดการหมุนเวียนลมทั้ง และมีการผสมวัสดุในเบค

242-Y

243-Y

YY = 0.3

POS.	W	H	TS	TA
1	0.25000000	0.20000000	0.30000000	0.60000000
2	0.25000000	0.20000000	0.30000000	0.60000000
3	0.25000000	0.20000000	0.30000000	0.60000000
4	0.25000000	0.20000000	0.30000000	0.60000000
5	0.25000000	0.20000000	0.30000000	0.60000000
6	0.25000000	0.20000000	0.30000000	0.60000000
7	0.25000000	0.20000000	0.30000000	0.60000000
8	0.25000000	0.20000000	0.30000000	0.60000000

GLHR(KJ/HR) = 0.000000
 TSAVE = 0.25000000
 TAEFF (X) = 0.000000

HI(-) = 0.200000-01
 AT REAL TIME (HR) RT = 0.000000
 TAI(C) = 0.600000

TIME TO MIXING BEGINNING AGAIN

POS.	W	H	TS	TA
1	0.14205200	0.364870-01	0.36082700	0.40200000
4	0.25454800	0.400130-01	0.36515500	0.38522300
8	0.25471000	0.398170-01	0.36422900	0.36429700

GLHR(KJ/HR) = 0.974220
 QTOT(KJ) = 0.254005

TSAVE = 0.2364607400
 TAEFF (X) = 0.2570846400

HI(-) = 0.207630-01
 AT REAL TIME (HR) RT = 0.500000
 TAI(C) = 0.600000

TIME TO MIXING BEGINNING AGAIN

POS.	W	H	TS	TA
1	0.53598800	0.329780-01	0.48020300	0.49174000
4	0.25381800	0.380850-01	0.36144700	0.36158300
8	0.25462700	0.395270-01	0.36318700	0.36314400

GLHR(KJ/HR) = 0.976150
 QTOT(KJ) = 0.497005

TSAVE = 0.2230248900
 TAEFF (X) = 0.3005027200

HI(-) = 0.297830-01
 AT REAL TIME (HR) RT = 0.500000
 TAI(C) = 0.600000

TIME TO MIXING BEGINNING AGAIN

POS.	W	H	TS	TA
1	0.22302500	0.200000-01	0.37758300	0.60000000
4	0.22302500	0.200000-01	0.37758300	0.60000000
8	0.22302500	0.200000-01	0.37758300	0.60000000

GLHR(KJ/HR) = 0.976150
 QTOT(KJ) = 0.497005

TSAVE = 0.2230248900
 TAEFF (X) = 0.3005027200

HI(-) = 0.302090-01
 AT REAL TIME (HR) RT = 0.750000
 TAI(C) = 0.600000

TIME TO MIXING BEGINNING AGAIN

POS.	W	H	TS	TA
1	0.11818600	0.394870-01	0.38784300	0.40838100
4	0.22200300	0.403720-01	0.36762000	0.36882300
8	0.22227400	0.404190-01	0.36892500	0.36892000

GLHR(KJ/HR) = 0.968630
 QTOT(KJ) = 0.739005

TSAVE = 0.2087254300
 TAEFF (X) = 0.3213898800

HI(-) = 0.292380-01
 AT REAL TIME (HR) RT = 0.100000
 TAI(C) = 0.600000

POS.	W	H	TS	TA
1	0.48489700	0.284050-01	0.56848700	0.57150100
4	0.22048900	0.383730-01	0.35814800	0.35854500
8	0.22187800	0.384760-01	0.35853800	0.35850800

GLHR(KJ/HR) = 0.983890
 QTOT(KJ) = 0.981005

TSAVE = 0.1914542700
 TAEFF (X) = 0.3281006400

HI(-) = 0.292380-01
 AT REAL TIME (HR) RT = 0.100000
 TAI(C) = 0.600000

TIME TO MIXING BEGINNING AGAIN

POS.	W	H	TS	TA
1	0.19145400	0.200000-01	0.38609400	0.60000000
4	0.19145400	0.200000-01	0.38609400	0.60000000
8	0.19145400	0.200000-01	0.38609400	0.60000000

GLHR(KJ/HR) = 0.983890
 QTOT(KJ) = 0.981005

TSAVE = 0.1914542700
 TAEFF (X) = 0.3281006400

HI(-) = 0.301830-01
 AT REAL TIME (HR) RT = 0.150000
 TAI(C) = 0.600000

POS.	W	H	TS	TA
1	0.87819300	0.377850-01	0.40096400	0.42012800
4	0.18978700	0.402280-01	0.36821500	0.36839000
8	0.19012900	0.403250-01	0.36854800	0.36853800

GLHR(KJ/HR) = 0.970450
 QTOT(KJ) = 0.122008

TSAVE = 0.1747247300
 TAEFF (X) = 0.3709812100

HI(-) = 0.295570-01
 AT REAL TIME (HR) RT = 0.150000
 TAI(C) = 0.600000

TIME TO MIXING BEGINNING AGAIN

POS.	W	H	TS	TA
1	0.49400100	0.295570-01	0.59734800	0.59780400
4	0.18797300	0.384290-01	0.36296000	0.36359000
8	0.18978800	0.391140-01	0.36110100	0.36114700

GLHR(KJ/HR) = 0.978500
 QTOT(KJ) = 0.147008

TSAVE = 0.1598620400
 TAEFF (X) = 0.3951003800

HI(-) = 0.285570-01
 AT REAL TIME (HR) RT = 0.150000
 TAI(C) = 0.600000

POS.	W	H	TS	TA
1	0.15986200	0.200000-01	0.39510000	0.60000000
4	0.15986200	0.200000-01	0.39510000	0.60000000
8	0.15986200	0.200000-01	0.39510000	0.60000000

GLHR(KJ/HR) = 0.878500
 QTOT(KJ) = 0.147008

TSAVE = 0.1598620400
 TAEFF (X) = 0.3951003800

NI(-) = 0.29730-01 AT REAL TIME (HR) RT = 0.175000 01 TAI(C) = 0.900000 02

POS.	W	H	TS	TA
1	0.8320720-01	0.356940-01	0.4348180 02	0.4505430 02
4	0.1373820 00	0.398910-01	0.3641370 02	0.3843040 02
8	0.1376620 00	0.398470-01	0.3650150 02	0.3848900 02

GLHR(KJ/HR) = 0.979500 05 QTOT(KJ) = 0.1710 05
WAVE = 0.142818870 00 TSAVE = 0.373970180 02
SAVE = 0.542539710 01 THEFF (%) = 0.13530 02

NI(-) = 0.296380-01 AT REAL TIME (HR) RT = 0.200000 01 TAI(C) = 0.900000 02

POS.	W	H	TS	TA
1	0.4940000-01	0.286380-01	0.598030 02	0.598220 02
4	0.1537720 00	0.390120-01	0.3655810 02	0.3640040 02
8	0.1577890 00	0.393180-01	0.3622250 02	0.3622230 02

GLHR(KJ/HR) = 0.879500 05 QTOT(KJ) = 0.1950 05
WAVE = 0.128188920 00 TSAVE = 0.403318170 02
SAVE = 0.289120080 01 THEFF (%) = 0.14310 02

NI(-) = 0.200000-01 AT REAL TIME (HR) RT = 0.200000 01 TAI(C) = 0.900000 02

POS.	W	H	TS	TA
1	0.1281990-01	0.200000-01	0.4033180 02	0.9000000 02
4	0.1281990-01	0.200000-01	0.4033180 02	0.9000000 02
8	0.1281990-01	0.200000-01	0.4033180 02	0.9000000 02

GLHR(KJ/HR) = 0.979500 05 QTOT(KJ) = 0.1850 05
WAVE = 0.128199820 00 TSAVE = 0.403318170 02
SAVE = 0.289120080 01 THEFF (%) = 0.14310 02

AT REAL TIME RT = 0.200000 01 HR., WAVE = 0.128200-01
BELOW OR EQUAL 0.13700 00, THE PROGRAM MUST BE ENDED AND TOTAL
ENERGY FOR HEATER (KJ) IS 0.1950400 05

POS.	W	H	TS	TA
1	0.1281990-01	0.200000-01	0.4033180 02	0.9000000 02
4	0.1281990-01	0.200000-01	0.4033180 02	0.9000000 02
8	0.1281990-01	0.200000-01	0.4033180 02	0.9000000 02

ศูนย์วิจัยทรัพยากร
จุฬาลงกรณ์มหาวิทยาลัย

ตัวอย่างผลการซีบูเลตความชื้น, อุณหภูมิของวัสดุและลมร้อน ภายในเบคที่ตำแหน่งต่างๆ

เงื่อนไข $T_A = 40 \text{ C}$, $W_{in} = 0.25 \text{ d.b.}$ และ $V_{bed} = 0.4634 \text{ m/s}$ 2 กรณีคือ

1. กรณีไม่มีการหมุนเวียนลมทั้ง และมีการผสมวัสดุในเบค
2. กรณีมีการหมุนเวียนลมทั้ง และมีการผสมวัสดุในเบค
1. กรณีไม่มีการหมุนเวียนลมทั้ง และมีการผสมวัสดุในเบค

ศูนย์วิทยทรัพยากร
จุฬาลงกรณ์มหาวิทยาลัย

246

247

MA
 HI(-) = 0.2000000-01 AT TIME (HR) = 0.0000000 00
 TAI0(C) = 0.4000000 02
 POS. W H TS TA
 1 0.2300000 00 0.2000000-01 0.3000000 02 0.4000000 02
 2 0.2500000 00 0.2000000-01 0.3000000 02 0.4000000 02
 3 0.2500000 00 0.2000000-01 0.3000000 02 0.4000000 02
 4 0.2500000 00 0.2000000-01 0.3000000 02 0.4000000 02
 5 0.2500000 00 0.2000000-01 0.3000000 02 0.4000000 02
 6 0.2500000 00 0.2000000-01 0.3000000 02 0.4000000 02
 7 0.2500000 00 0.2000000-01 0.3000000 02 0.4000000 02
 8 0.2500000 00 0.2000000-01 0.3000000 02 0.4000000 02
 QLHR(KJ/HR) = 0.357950 05
 WAVE(D.B.) = 0.203617950 00
 RAVE(KG WATER/HR) = 0.17232840 02
 TSAVE(C) = 0.28020880 02
 THEFF(X) = 0.11700 03
 TIME TO MIXING BED AGAIN.
 HI(-) = 0.2000000-01 AT TIME (HR) = 0.1500000 01
 TAI0(C) = 0.4000000 02

MA
 HI(-) = 0.2000000-01 AT TIME (HR) = 0.0000000 00
 TAI0(C) = 0.4000000 02
 POS. W H TS TA
 1 0.2300000 00 0.2000000-01 0.3000000 02 0.4000000 02
 2 0.2500000 00 0.2000000-01 0.3000000 02 0.4000000 02
 3 0.2500000 00 0.2000000-01 0.3000000 02 0.4000000 02
 4 0.2500000 00 0.2000000-01 0.3000000 02 0.4000000 02
 5 0.2500000 00 0.2000000-01 0.3000000 02 0.4000000 02
 6 0.2500000 00 0.2000000-01 0.3000000 02 0.4000000 02
 7 0.2500000 00 0.2000000-01 0.3000000 02 0.4000000 02
 8 0.2500000 00 0.2000000-01 0.3000000 02 0.4000000 02
 QLHR(KJ/HR) = 0.357950 05
 WAVE(D.B.) = 0.203617950 00
 RAVE(KG WATER/HR) = 0.17232840 02
 TSAVE(C) = 0.28020880 02
 THEFF(X) = 0.11700 03
 TIME TO MIXING BED AGAIN.
 HI(-) = 0.2000000-01 AT TIME (HR) = 0.1500000 01
 TAI0(C) = 0.4000000 02

MA
 HI(-) = 0.2000000-01 AT TIME (HR) = 0.1500000 01
 TAI0(C) = 0.4000000 02
 POS. W H TS TA
 1 0.1231810 00 0.2300000-01 0.3112300 02 0.3198410 02
 4 0.2160640 00 0.2481800-01 0.2848200 02 0.2846640 02
 8 0.2165750 00 0.2484010-01 0.2848750 02 0.2848730 02
 QLHR(KJ/HR) = 0.357950 05
 WAVE(D.B.) = 0.203617950 00
 RAVE(KG WATER/HR) = 0.17232840 02
 TSAVE(C) = 0.28020880 02
 THEFF(X) = 0.11700 03
 TIME TO MIXING BED AGAIN.
 HI(-) = 0.2000000-01 AT TIME (HR) = 0.1500000 01
 TAI0(C) = 0.4000000 02

MA
 HI(-) = 0.2000000-01 AT TIME (HR) = 0.0000000 00
 TAI0(C) = 0.4000000 02
 POS. W H TS TA
 1 0.1486370 00 0.2376090-01 0.3009380 02 0.3102320 02
 4 0.2486120 00 0.2487270-01 0.2849280 02 0.2849720 02
 8 0.2486470 00 0.2488190-01 0.2849460 02 0.2849450 02
 QLHR(KJ/HR) = 0.357950 05
 WAVE(D.B.) = 0.233924820 00
 RAVE(KG WATER/HR) = 0.179079780 02
 TSAVE(C) = 0.287087180 02
 THEFF(X) = 0.12160 03
 TIME TO MIXING BED AGAIN.
 HI(-) = 0.2000000-01 AT TIME (HR) = 0.5000000 00
 TAI0(C) = 0.4000000 02

MA
 HI(-) = 0.2000000-01 AT TIME (HR) = 0.1500000 01
 TAI0(C) = 0.4000000 02
 POS. W H TS TA
 1 0.1197990 00 0.2785470-01 0.3209950 02 0.3284820 02
 4 0.2037310 00 0.2475618-01 0.2842780 02 0.2843880 02
 8 0.2033660 00 0.2479340-01 0.2843730 02 0.2843880 02
 QLHR(KJ/HR) = 0.357950 05
 WAVE(D.B.) = 0.186476140 00
 RAVE(KG WATER/HR) = 0.171339100 02
 TSAVE(C) = 0.289416580 02
 THEFF(X) = 0.11840 03
 TIME TO MIXING BED AGAIN.
 HI(-) = 0.2000000-01 AT TIME (HR) = 0.2000000 01
 TAI0(C) = 0.4000000 02

MA
 HI(-) = 0.2000000-01 AT TIME (HR) = 0.0000000 00
 TAI0(C) = 0.4000000 02
 POS. W H TS TA
 1 0.2339250 00 0.2000000-01 0.2870870 02 0.4000000 02
 4 0.2339250 00 0.2000000-01 0.2870870 02 0.4000000 02
 8 0.2339250 00 0.2000000-01 0.2870870 02 0.4000000 02
 QLHR(KJ/HR) = 0.357950 05
 WAVE(D.B.) = 0.233924820 00
 RAVE(KG WATER/HR) = 0.179079780 02
 TSAVE(C) = 0.287087180 02
 THEFF(X) = 0.12160 03
 TIME TO MIXING BED AGAIN.
 HI(-) = 0.2000000-01 AT TIME (HR) = 0.1000000 00
 TAI0(C) = 0.4000000 02

MA
 HI(-) = 0.2000000-01 AT TIME (HR) = 0.1500000 01
 TAI0(C) = 0.4000000 02
 POS. W H TS TA
 1 0.1894780 00 0.2000000-01 0.2894170 02 0.4000000 02
 4 0.1894780 00 0.2000000-01 0.2894170 02 0.4000000 02
 8 0.1894780 00 0.2000000-01 0.2894170 02 0.4000000 02
 QLHR(KJ/HR) = 0.357950 05
 WAVE(D.B.) = 0.186476140 00
 RAVE(KG WATER/HR) = 0.171339390 02
 TSAVE(C) = 0.289416580 02
 THEFF(X) = 0.11840 03
 TIME TO MIXING BED AGAIN.
 HI(-) = 0.2000000-01 AT TIME (HR) = 0.2500000 01
 TAI0(C) = 0.4000000 02

MA
 HI(-) = 0.2000000-01 AT TIME (HR) = 0.0000000 00
 TAI0(C) = 0.4000000 02
 POS. W H TS TA
 1 0.1358770 00 0.2358590-01 0.3050110 02 0.3140120 02
 4 0.2337690 00 0.2485550-01 0.2848140 02 0.2848690 02
 8 0.2337690 00 0.2486630-01 0.2848430 02 0.2848440 02
 QLHR(KJ/HR) = 0.357950 05
 WAVE(D.B.) = 0.218768710 00
 RAVE(KG WATER/HR) = 0.173958770 02
 TSAVE(C) = 0.287584080 02
 THEFF(X) = 0.11810 03
 TIME TO MIXING BED AGAIN.
 HI(-) = 0.2000000-01 AT TIME (HR) = 0.1000000 01
 TAI0(C) = 0.4000000 02

MA
 HI(-) = 0.2000000-01 AT TIME (HR) = 0.1500000 01
 TAI0(C) = 0.4000000 02
 POS. W H TS TA
 1 0.1025770 00 0.2213190-01 0.3368930 02 0.3428930 02
 4 0.1872520 00 0.2464780-01 0.2837010 02 0.2838740 02
 8 0.1861320 00 0.2470900-01 0.2838280 02 0.2838210 02
 QLHR(KJ/HR) = 0.357950 05
 WAVE(D.B.) = 0.173381450 00
 RAVE(KG WATER/HR) = 0.170731450 02
 TSAVE(C) = 0.291253560 02
 THEFF(X) = 0.11600 03
 TIME TO MIXING BED AGAIN.
 HI(-) = 0.2000000-01 AT TIME (HR) = 0.2500000 01
 TAI0(C) = 0.4000000 02

MA
 HI(-) = 0.2000000-01 AT TIME (HR) = 0.0000000 00
 TAI0(C) = 0.4000000 02
 POS. W H TS TA
 1 0.2167880 00 0.2000000-01 0.2875840 02 0.4000000 02
 4 0.2167880 00 0.2000000-01 0.2875840 02 0.4000000 02
 8 0.2167880 00 0.2000000-01 0.2875840 02 0.4000000 02
 QLHR(KJ/HR) = 0.357950 05
 WAVE(D.B.) = 0.218768710 00
 RAVE(KG WATER/HR) = 0.173958770 02
 TSAVE(C) = 0.287584080 02
 THEFF(X) = 0.11810 03
 TIME TO MIXING BED AGAIN.
 HI(-) = 0.2000000-01 AT TIME (HR) = 0.1000000 01
 TAI0(C) = 0.4000000 02

MA
 HI(-) = 0.2000000-01 AT TIME (HR) = 0.1500000 01
 TAI0(C) = 0.4000000 02
 POS. W H TS TA
 1 0.1733810 00 0.2000000-01 0.2912540 02 0.4000000 02
 4 0.1733810 00 0.2000000-01 0.2912540 02 0.4000000 02
 8 0.1733810 00 0.2000000-01 0.2912540 02 0.4000000 02
 QLHR(KJ/HR) = 0.357950 05
 WAVE(D.B.) = 0.173381450 00
 RAVE(KG WATER/HR) = 0.170730690 02
 TSAVE(C) = 0.291253560 02
 THEFF(X) = 0.11600 03
 TIME TO MIXING BED AGAIN.
 HI(-) = 0.2000000-01 AT TIME (HR) = 0.2500000 01
 TAI0(C) = 0.4000000 02

MA
 HI(-) = 0.2000000-01 AT TIME (HR) = 0.0000000 00
 TAI0(C) = 0.4000000 02
 POS. W H TS TA
 1 0.1733810 00 0.2000000-01 0.2912540 02 0.4000000 02
 4 0.1733810 00 0.2000000-01 0.2912540 02 0.4000000 02
 8 0.1733810 00 0.2000000-01 0.2912540 02 0.4000000 02
 QLHR(KJ/HR) = 0.357950 05
 WAVE(D.B.) = 0.173381450 00
 RAVE(KG WATER/HR) = 0.170730690 02
 TSAVE(C) = 0.291253560 02
 THEFF(X) = 0.11600 03
 TIME TO MIXING BED AGAIN.
 HI(-) = 0.2000000-01 AT TIME (HR) = 0.2500000 01
 TAI0(C) = 0.4000000 02

```

      AT TIME (HR) = 0.3000000 01
      HI(-) = 0.2000000-01      TAI0(C) = 0.4000000 02
      =====
      POS.      W      H      TS      TA
      1 0.0637950-01 0.2115020-01 0.3597180 02 0.3835360 02
      4 0.1718390 00 0.2450200-01 0.2830320 02 0.2833490 02
      8 0.1728670 00 0.2457940-01 0.2829740 02 0.2828650 02
      =====
      QLHR( KJ/HR ) = 0.357950 05      QTOT( KJ ) = 0.107390 06
      WAVE(D.B.) = 0.158289840 00      TSAVE( C ) = 0.294297250 02
      RAVE(KG WATER/HR) = 0.170275570 02      THEFF( X ) = 0.11560 03
      =====
      TIME TO MIXING BED AGAIN.
      AT TIME (HR) = 0.3000000 01
      HI(-) = 0.2000000-01      TAI0(C) = 0.4000000 02
      =====
      POS.      W      H      TS      TA
      1 0.1582900 00 0.2000000-01 0.2942970 02 0.4000000 02
      4 0.1582900 00 0.2000000-01 0.2942970 02 0.4000000 02
      8 0.1582900 00 0.2000000-01 0.2942970 02 0.4000000 02
      =====
      QLHR( KJ/HR ) = 0.357950 05      QTOT( KJ ) = 0.107390 06
      WAVE(D.B.) = 0.158289840 00      TSAVE( C ) = 0.294297250 02
      RAVE(KG WATER/HR) = 0.170275570 02      THEFF( X ) = 0.11560 03
      =====
      AT TIME (HR) = 0.3500000 01
      HI(-) = 0.2000000-01      TAI0(C) = 0.4000000 02
      =====
      POS.      W      H      TS      TA
      1 0.0368730-01 0.2034700-01 0.3832800 02 0.3848460 02
      4 0.1553590 00 0.2442070-01 0.2832340 02 0.2838800 02
      8 0.1579940 00 0.2447990-01 0.2822530 02 0.2822530 02
      =====
      QLHR( KJ/HR ) = 0.357950 05      QTOT( KJ ) = 0.125280 06
      WAVE(D.B.) = 0.143283860 00      TSAVE( C ) = 0.298859610 02
      RAVE(KG WATER/HR) = 0.189831240 02      THEFF( X ) = 0.11530 03
      =====
      TIME TO MIXING BED AGAIN.
      AT TIME (HR) = 0.3500000 01
      HI(-) = 0.2000000-01      TAI0(C) = 0.4000000 02
      =====
      POS.      W      H      TS      TA
      1 0.1432840 00 0.2000000-01 0.2988800 02 0.4000000 02
      4 0.1432840 00 0.2000000-01 0.2988800 02 0.4000000 02
      8 0.1432840 00 0.2000000-01 0.2988800 02 0.4000000 02
      =====
      QLHR( KJ/HR ) = 0.357950 05      QTOT( KJ ) = 0.125280 06
      WAVE(D.B.) = 0.143283860 00      TSAVE( C ) = 0.298859610 02
      RAVE(KG WATER/HR) = 0.189831110 02      THEFF( X ) = 0.11530 03
      =====
      AT TIME (HR) = 0.4000000 01
      HI(-) = 0.2000000-01      TAI0(C) = 0.4000000 02
      =====
      POS.      W      H      TS      TA
      1 0.0300910-01 0.2005680-01 0.3956770 02 0.3962680 02
      4 0.1379270 00 0.2426330-01 0.2850610 02 0.2864440 02
      8 0.1423310 00 0.2443620-01 0.2819430 02 0.2819500 02
      =====
      QLHR( KJ/HR ) = 0.357950 05      QTOT( KJ ) = 0.143180 06
      WAVE(D.B.) = 0.128361710 00      TSAVE( C ) = 0.305121670 02
      RAVE(KG WATER/HR) = 0.189381580 02      THEFF( X ) = 0.11500 03
      =====
      TIME TO MIXING BED AGAIN.
      AT TIME (HR) = 0.4000000 01
      HI(-) = 0.2000000-01      TAI0(C) = 0.4000000 02
      =====
      POS.      W      H      TS      TA
      1 0.1283620 00 0.2000000-01 0.3051220 02 0.4000000 02
      4 0.1283620 00 0.2000000-01 0.3051220 02 0.4000000 02
      8 0.1283620 00 0.2000000-01 0.3051220 02 0.4000000 02
      =====
      QLHR( KJ/HR ) = 0.357950 05      QTOT( KJ ) = 0.143180 06
      WAVE(D.B.) = 0.128361710 00      TSAVE( C ) = 0.305121670 02
      RAVE(KG WATER/HR) = 0.189381320 02      THEFF( X ) = 0.11500 03
      =====
      AT TIME (HR) = 0.4000000 01      WAVE(D.B.) = 0.128380 00 <= 0.137000 00
      AND TOTAL ENERGY FOR HEATER (KJ) = 0.1431820 06
      =====
      POS.      W      H      TS      TA
      1 0.1283620 00 0.2000000-01 0.3051220 02 0.4000000 02
      4 0.1283620 00 0.2000000-01 0.3051220 02 0.4000000 02
      8 0.1283620 00 0.2000000-01 0.3051220 02 0.4000000 02
      =====
  
```


***** NECESSARY DATA INPUT *****

DIMENSION OF DRYER
HL(M) = 0.500000D 00

AREA(M**2) = 0.200000D 01

PROPERTIES OF SOLID
CPS(KJ/KG DRY SOLID/ C) = 0.1122D 01
WC(D.B.) = 0.600000D 00

CPW(KJ/KG WATER/ C) = 0.4187D 01

PROPERTIES OF AIR
CPA(KJ/KG DRY AIR/ C) = 0.1005D 01

CPV(KJ/KG WATER VAP./ C) = 0.1926D 01

CONDITIONS OF DRYING

DEG(M) = 0.600000D-02
SPAREA(M**2/M**3) = 0.7841200D 03
TSD(C) = 0.300000D 02
N(-) = 8

ESP = 0.400000D 00
SX(KG DRY SOLID/M**3) = 0.5570000D 03
WOAVE(D.B.) = 0.250000D 00

TFA(C) = 0.300000D 02
VEL. (M/HR) = 0.1518000D 04
HI = 0.200000D-01
TAIO(C) = 40, 50, 60, 70

HFA = 0.200000D-01
R(-) = 0.0, 0.33, 1.0, 2.0, 3.0, 4.0
HIO = 0.200000D-01
HVS(KJ/KG WATER) = 0.2491D 04

MASS & HEAT TRANSFER BY UNIT VOL.

CKA(KG WATER/(H.M**3.HR)) = 0.2612000D 06

HCA(KJ/(M**3 HR C) = 0.273398D 06

ENERGY CONSUMPTION

QTOT(KJ) = 0.0000D 00

QZ(KJ) = 0.0000D 00

TIME TO BEGIN RUNNING

RT(HR) = 0.000000D 00

STEP TO INTEGRATE

TDT(SEC) = 0.100000D-01

STEP TO PRINT RESULTS

JTPRT = 30000

STEP TO MIXING SOLID IN BED

JTMIX = 180000

CONDITION TO STOP RUNNING

WSTOP(D.B.) = 0.120000D 00

TSTOP(HR) = 0.300000D 01

SETTING UP CALCULATION.....

NM(-) = 32
VOLB(M**3) = 0.100000D 01
DT(HR) = 0.2777778D-05
RHFA(KG FRESH AIR/M**3) = 0.1130048D 01
CMFA(KG FRESH AIR/HR) = 0.3430825D 04
HFC(KJ/KG WATER) AT 30 C = 0.2431D 04

GN(-) = 0.800D 01
CMDS(KG DRY SOLID) = 0.5570000D 03
CMFAO(KG FRESH AIR/HR) = 0.3430825D 04
CMF(KG FRESH AIR/(M**2.HR)) = 0.2744660D 05

(I) T_A = 40 °C

TIME (HR)	r = 0			r = 1		
	Wave (D.B.)	Wave Rate (KJ)	Wave Rate (C.B.)	Wave (D.B.)	Wave Rate (KJ)	Wave Rate (C.B.)
0	0.2500	0.0000	0.00E+00	0.2500	0.0000	0.00E+00
15	0.2415	0.0342	0.95E-03	0.2441	0.0230	0.89E+03
30	0.2339	0.0322	1.79E-04	0.2379	0.0244	1.77E+04
45	0.2263	0.0316	2.68E-04	0.2315	0.0247	2.64E+04
60	0.2188	0.0312	3.58E-04	0.2252	0.0248	3.52E+04
75	0.2111	0.0311	4.47E-04	0.2189	0.0249	4.39E+04
90	0.2036	0.0309	5.37E-04	0.2126	0.0249	5.27E+04
105	0.1959	0.0309	6.26E-04	0.2063	0.0250	6.15E+04
120	0.1885	0.0308	7.16E-04	0.2000	0.0250	7.02E+04
135	0.1809	0.0308	8.05E-04	0.1937	0.0250	7.90E+04
150	0.1734	0.0307	8.95E-04	0.1875	0.0250	8.78E+04
165	0.1656	0.0307	9.84E-04	0.1811	0.0250	9.65E+04
180	0.1583	0.0306	1.07E-03	0.1749	0.0250	1.05E+05
195	0.1504	0.0306	1.16E-03	0.1685	0.0251	1.14E+05
210	0.1423	0.0305	1.25E-03	0.1623	0.0251	1.23E+05
225	0.1343	0.0305	1.34E-03	0.1560	0.0251	1.32E+05
240	0.1264	0.0304	1.43E-03	0.1499	0.0251	1.41E+05
255	-----	-----	-----	0.1434	0.0251	1.49E+05
270	-----	-----	-----	0.1373	0.0251	1.58E+05
273.5	-----	-----	-----	0.1357	0.0251	1.60E+05

(II) T_A = 50 °C

TIME (HR)	r = 0			r = 0.33			r = 1			r = 2		
	Wave (D.B.)	Wave Rate (KJ)	Wave Rate (C.B.)	Wave (D.B.)	Wave Rate (KJ)	Wave Rate (C.B.)	Wave (D.B.)	Wave Rate (KJ)	Wave Rate (C.B.)	Wave (D.B.)	Wave Rate (KJ)	Wave Rate (C.B.)
0	0.2500	0.0000	0.00E+00	0.2500	0.0000	0.00E+00	0.2500	0.0000	0.00E+00	0.2500	0.0000	0.00E+00
15	0.2378	0.0490	1.79E-04	0.2300	0.0000	0.00E+00	0.2414	0.0344	1.71E+04	0.2434	0.0253	1.63E+04
30	0.2251	0.0458	3.62E-04	0.2225	0.0480	1.57E-04	0.2197	0.0387	3.25E+04	0.2342	0.0317	3.11E+04
45	0.2120	0.0506	5.37E-04	0.2151	0.0464	3.28E-04	0.2187	0.0389	4.63E+04	0.2245	0.0339	4.28E+04
60	0.1995	0.0505	7.14E-04	0.2032	0.0468	5.04E-04	0.2039	0.0411	6.43E+04	0.2150	0.0350	6.05E+04
75	0.1923	0.0510	8.93E-04	0.1908	0.0474	6.79E-04	0.1979	0.0419	8.26E+04	0.2059	0.0357	7.81E+04
90	0.1740	0.0507	1.07E-03	0.1791	0.0473	1.05E-03	0.1871	0.0419	9.90E+04	0.1959	0.0345	1.04E+05
105	0.1604	0.0512	1.25E-03	0.1665	0.0477	1.23E-03	0.1760	0.0423	1.13E+05	0.1862	0.0345	1.04E+05
120	0.1485	0.0507	1.43E-03	0.1551	0.0475	1.41E-03	0.1654	0.0426	1.32E+05	0.1767	0.0347	1.19E+05
135	0.1347	0.0513	1.61E-03	0.1422	0.0479	1.58E-03	0.1541	0.0426	1.49E+05	0.1670	0.0359	1.34E+05
150	0.1231	0.0508	1.79E-03	0.1310	0.0476	1.76E-03	0.1437	0.0428	1.65E+05	0.1576	0.0370	1.48E+05
165	-----	-----	-----	0.1220	0.0476	1.76E-03	0.1322	0.0428	1.81E+05	0.1478	0.0372	1.63E+05
180	-----	-----	-----	0.1220	0.0427	1.97E+05	0.1305	0.0427	1.97E+05	0.1305	0.0372	1.76E+05

ศูนย์วิทยทรัพยากร
จุฬาลงกรณ์มหาวิทยาลัย

(III) $T_A = 60^\circ C$

TIME (HR)	r = 0 NO MIX			r = 0.33			r = 1		
	Wave (C.B.)	Chatter (C.J)	Wave Rate (C.B.)	Wave (C.B.)	Chatter (C.J)	Wave Rate (C.B.)	Wave (C.B.)	Chatter (C.J)	Wave Rate (C.B.)
0	0.2500	0.0000	0.00E+00	0.2500	0.0000	0.00E+00	0.2500	0.0000	0.00E+00
15	0.2338	0.0547	2.68E+04	0.2337	0.0571	2.64E+04	0.2395	0.0482	2.54E+04
30	0.2164	0.0678	5.37E+04	0.2193	0.0621	5.29E+04	0.2250	0.0540	4.97E+04
45	0.1992	0.0876	8.03E+04	0.1969	0.0857	7.84E+04	0.2067	0.0577	7.88E+04
60	0.1824	0.0876	1.34E+05	0.1800	0.0700	1.07E+05	0.1915	0.0595	1.23E+05
75	0.1652	0.0691	1.64E+05	0.1600	0.0720	1.34E+05	0.1845	0.0674	1.31E+05
90	0.1510	0.0691	1.61E+05	0.1434	0.0711	1.61E+05	0.1499	0.0668	1.37E+05
105	0.1140	0.0500	2.15E+05	0.1235	0.0723	1.89E+05	0.1310	0.0690	1.82E+05
120	0.0965	0.0692	2.42E+05	0.1077	0.0711	2.15E+05	0.1155	0.0672	2.07E+05
135	0.0800	0.0690	2.65E+05						
154.6									
165	0.0200	0.0518	2.68E+05						
169.08	0.0592	0.0581	3.22E+05						

TIME (HR)	r = 2			r = 3			r = 4		
	Wave (C.B.)	Chatter (C.J)	Wave Rate (C.B.)	Wave (C.B.)	Chatter (C.J)	Wave Rate (C.B.)	Wave (C.B.)	Chatter (C.J)	Wave Rate (C.B.)
0	0.2500	0.0000	0.00E+00	0.2500	0.0000	0.00E+00	0.2500	0.0000	0.00E+00
15	0.2410	0.0358	2.43E+04	0.2427	0.0239	2.36E+04	0.2438	0.0247	2.31E+04
30	0.2274	0.0452	4.63E+04	0.2305	0.0470	4.38E+04	0.2328	0.0343	4.20E+04
45	0.2130	0.0493	6.80E+04	0.2175	0.0439	6.32E+04	0.2209	0.0368	6.02E+04
60	0.1991	0.0509	8.96E+04	0.2047	0.0453	8.32E+04	0.2091	0.0409	7.86E+04
75	0.1845	0.0534	1.12E+05	0.1916	0.0447	1.03E+05	0.1970	0.0424	9.68E+04
90	0.1709	0.0538	1.36E+05	0.1789	0.0474	1.23E+05	0.1852	0.0433	1.15E+05
105	0.1559	0.0539	1.59E+05	0.1691	0.0482	1.43E+05	0.1731	0.0439	1.39E+05
120	0.1425	0.0537	1.77E+05	0.1591	0.0484	1.63E+05	0.1614	0.0443	1.52E+05
135	0.1274	0.0545	1.99E+05	0.1394	0.0491	1.83E+05	0.1491	0.0448	1.70E+05
150	0.1142	0.0543	2.21E+05	0.1273	0.0491	2.03E+05	0.1376	0.0450	1.88E+05
154.6							0.1335	0.0452	1.94E+05
165									
169.08									

(IV) $T_A = 70^\circ C$

TIME (HR)	r = 0			r = 0.33			r = 1			r = 2		
	Wave (C.B.)	Chatter (C.J)	Wave Rate (C.B.)	Wave (C.B.)	Chatter (C.J)	Wave Rate (C.B.)	Wave (C.B.)	Chatter (C.J)	Wave Rate (C.B.)	Wave (C.B.)	Chatter (C.J)	Wave Rate (C.B.)
0	0.2500	0.0000	0.00E+00	0.2500	0.0000	0.00E+00	0.2500	0.0000	0.00E+00	0.2500	0.0000	0.00E+00
15	0.2297	0.0811	3.59E+04	0.2320	0.0722	3.40E+04	0.2302	0.0532	3.37E+04	0.2304	0.0466	3.23E+04
30	0.2095	0.0944	7.16E+04	0.2103	0.0797	7.04E+04	0.2154	0.0683	6.82E+04	0.2203	0.0595	6.20E+04
45	0.1814	0.0914	1.07E+05	0.1838	0.0751	1.04E+05	0.1926	0.0766	9.82E+04	0.1959	0.0668	9.40E+04
60	0.1597	0.0902	1.43E+05	0.1649	0.0751	1.39E+05	0.1729	0.0771	1.31E+05	0.1817	0.0684	1.20E+05
75	0.1337	0.0791	1.79E+05	0.1400	0.0680	1.74E+05	0.1500	0.0700	1.63E+05	0.1611	0.0712	1.49E+05
90	0.1190	0.0915	2.15E+05	0.1199	0.0688	2.08E+05	0.1307	0.0700	1.95E+05	0.1431	0.0713	1.79E+05
105										0.1223	0.0729	2.08E+05
120										0.1051	0.0724	2.38E+05

ภาคผนวก ช.2.2

ผลการชี้มูลเหตุการอบแห้ง เมล็ดข้าวโพด เพื่อศึกษาอิทธิพลของความชื้นเริ่มต้นของข้าวโพด



ศูนย์วิทยทรัพยากร
จุฬาลงกรณ์มหาวิทยาลัย

(I) $V_{in} = 0.30$ d.b.

TIME (HR)	r = 0			r = 0.33			r = 1			r = 2		
	Have (D.B.)	Rate	Uptaker (KJ)	Have (D.B.)	Rate	Uptaker (KJ)	Have (D.B.)	Rate	Uptaker (KJ)	Have (D.B.)	Rate	Uptaker (KJ)
0	0.3000	0.0000	0.00E+00	0.3000	0.0000	0.00E+00	0.3000	0.0000	0.00E+00	0.3000	0.0000	0.00E+00
15	0.2940	0.0541	2.68E+04	0.2860	0.0542	2.64E+04	0.2809	0.0448	2.54E+04	0.2715	0.0341	2.44E+04
30	0.2669	0.0690	3.37E+04	0.2689	0.0622	3.25E+04	0.2733	0.0535	4.97E+04	0.2780	0.0441	4.64E+04
45	0.2474	0.0702	8.05E+04	0.2512	0.0649	7.85E+04	0.2573	0.0559	7.39E+04	0.2638	0.0483	6.81E+04
60	0.2297	0.0703	1.07E+05	0.2344	0.0656	1.05E+05	0.2417	0.0503	9.82E+04	0.2498	0.0503	8.95E+04
75	0.2108	0.0716	1.34E+05	0.2164	0.0668	1.31E+05	0.2256	0.0595	1.22E+05	0.2355	0.0516	1.12E+05
90	0.1933	0.0710	1.61E+05	0.1999	0.0678	1.57E+05	0.2101	0.0599	1.47E+05	0.2215	0.0523	1.32E+05
105	0.1794	0.0722	1.88E+05	0.1814	0.0678	1.83E+05	0.1937	0.0608	1.71E+05	0.2072	0.0530	1.52E+05
120	0.1569	0.0716	2.15E+05	0.1653	0.0673	2.09E+05	0.1786	0.0615	2.19E+05	0.1788	0.0539	1.98E+05
135	0.1383	0.0723	2.42E+05	0.1463	0.0632	2.35E+05	0.1617	0.0612	2.44E+05	0.1652	0.0539	2.20E+05
150	0.1207	0.0717	2.68E+05	0.1397	0.0607	2.61E+05	0.1469	0.0619	2.68E+05	0.1503	0.0545	2.42E+05
165							0.1299	0.0615	2.92E+05	0.1369	0.0544	2.64E+05
180							0.1154					

(II) $V_{in} = 0.25$ d.b.

TIME (HR)	r = 0 NO MIX			r = 0.33			r = 1			r = 2		
	Have (D.B.)	Rate	Uptaker (KJ)	Have (D.B.)	Rate	Uptaker (KJ)	Have (D.B.)	Rate	Uptaker (KJ)	Have (D.B.)	Rate	Uptaker (KJ)
0	0.2500	0.0000	0.00E+00	0.2500	0.0000	0.00E+00	0.2500	0.0000	0.00E+00	0.2500	0.0000	0.00E+00
15	0.2324	0.0478	2.37E+04	0.2164	0.0672	2.32E+04	0.2071	0.0521	2.25E+04	0.2025	0.0446	2.19E+04
30	0.1992	0.0678	6.95E+04	0.1869	0.0708	6.92E+04	0.1790	0.0657	7.84E+04	0.1767	0.0562	7.58E+04
45	0.1854	0.0676	1.07E+05	0.1800	0.0700	1.07E+05	0.1845	0.0655	1.07E+05	0.1915	0.0505	1.01E+05
60	0.1652	0.0678	1.34E+05	0.1600	0.0720	1.34E+05	0.1697	0.0674	1.31E+05	0.1747	0.0602	1.23E+05
75	0.1479	0.0601	1.61E+05	0.1434	0.0711	1.61E+05	0.1498	0.0668	1.57E+05	0.1599	0.0601	1.47E+05
90	0.1310	0.0600	1.88E+05	0.1295	0.0723	1.88E+05	0.1310	0.0680	1.83E+05	0.1423	0.0612	1.71E+05
105	0.1143	0.0600	2.15E+05	0.1077	0.0711	2.15E+05	0.1153	0.0672	2.09E+05	0.1202	0.0609	1.95E+05
120	0.0965	0.0602	2.42E+05									
135	0.0800	0.0600	2.68E+05									
150	0.0618	0.0618	2.68E+05									
165	0.0502	0.0601	2.23E+05									

TIME (HR)	r = 3			r = 4		
	Have (D.B.)	Rate	Uptaker (KJ)	Have (D.B.)	Rate	Uptaker (KJ)
0	0.2500	0.0000	0.00E+00	0.2500	0.0000	0.00E+00
15	0.2410	0.0358	2.43E+04	0.2427	0.0273	2.36E+04
30	0.2274	0.0432	4.63E+04	0.2305	0.0390	4.38E+04
45	0.2130	0.0493	6.90E+04	0.2175	0.0433	6.39E+04
60	0.1991	0.0509	8.92E+04	0.2047	0.0453	8.29E+04
75	0.1845	0.0524	1.12E+05	0.1916	0.0467	9.28E+04
90	0.1709	0.0528	1.33E+05	0.1793	0.0484	1.04E+05
105	0.1599	0.0538	1.55E+05	0.1654	0.0482	1.13E+05
120	0.1425	0.0537	1.77E+05	0.1531	0.0484	1.23E+05
135	0.1274	0.0545	1.99E+05	0.1396	0.0491	1.35E+05
150	0.1142	0.0543	2.21E+05	0.1273	0.0491	1.49E+05
165				0.1335		

(III) $V_{In} = 0.225$ d.b.

TIME (MIN)	r = 0			r = 0.23			r = 1			r = 3		
	Use (D.B.)	Save (CJ)	Dealer (CJ)	Use (D.B.)	Save (CJ)	Dealer (CJ)	Use (D.B.)	Save (CJ)	Dealer (CJ)	Use (D.B.)	Save (CJ)	Dealer (CJ)
0	0.2250	0.0000	0.00E+00	0.2250	0.0000	0.00E+00	0.2250	0.0000	0.00E+00	0.2250	0.0000	0.00E+00
15	0.2098	0.0574	2.63E+04	0.2106	0.0574	2.63E+04	0.2173	0.0462	2.53E+04	0.2175	0.0301	2.34E+04
30	0.1918	0.0651	5.37E+04	0.1942	0.0651	5.37E+04	0.1814	0.0684	4.97E+04	0.1803	0.0456	4.37E+04
45	0.1719	0.0746	8.05E+04	0.1736	0.0739	7.82E+04	0.1664	0.0693	7.32E+04	0.1621	0.0527	6.34E+04
60	0.1552	0.0839	1.07E+05	0.1526	0.0797	1.05E+05	0.1464	0.0823	9.81E+04	0.1394	0.0509	8.34E+04
75	0.1352	0.0754	1.34E+05	0.1297	0.0754	1.31E+05	0.1494	0.0804	1.22E+05	0.1661	0.0531	1.03E+05
90	0.1191	0.0627	1.61E+05	0.1250	0.0627	1.57E+05	0.1348	0.0506	1.47E+05	0.1537	0.0491	1.29E+05
105										0.1401	0.0543	1.43E+05
120										0.1278	0.0496	1.63E+05

(IV) $V_{In} = 0.20$ d.b.

TIME (HR)	r = 0			r = 0.23			r = 1		
	Use (D.B.)	Save (CJ)	Dealer (CJ)	Use (D.B.)	Save (CJ)	Dealer (CJ)	Use (D.B.)	Save (CJ)	Dealer (CJ)
0	0.2000	0.0000	0.00E+00	0.2000	0.0000	0.00E+00	0.2000	0.0000	0.00E+00
15	0.1837	0.0650	2.68E+04	0.1855	0.0579	2.63E+04	0.1891	0.0475	2.53E+04
30	0.1670	0.0670	5.37E+04	0.1695	0.0642	5.25E+04	0.1732	0.0575	4.97E+04
45	0.1470	0.0870	8.05E+04	0.1506	0.0735	7.84E+04	0.1562	0.0681	7.32E+04
60	0.1306	0.0658	1.07E+05	0.1348	0.0633	1.05E+05	0.1415	0.0589	9.81E+04
75							0.1245	0.0632	1.22E+05
90							0.1102	0.0572	1.43E+05

TIME (HR)	r = 2			r = 3		
	Use (D.B.)	Save (CJ)	Dealer (CJ)	Use (D.B.)	Save (CJ)	Dealer (CJ)
0	0.2000	0.0000	0.00E+00	0.2000	0.0000	0.00E+00
15	0.1907	0.0373	2.41E+04	0.1923	0.0308	2.33E+04
30	0.1773	0.0596	4.62E+04	0.1802	0.0465	4.36E+04
45	0.1623	0.0598	6.77E+04	0.1667	0.0537	6.32E+04
60	0.1489	0.0538	8.98E+04	0.1542	0.0500	8.33E+04
75	0.1339	0.0603	1.11E+05	0.1407	0.0542	1.03E+05
90	0.1205	0.0530	1.33E+05	0.1284	0.0491	1.23E+05

จุฬาลงกรณ์มหาวิทยาลัย

ภาคผนวก ช.2.3

ผลการประชุมเลขาธิการอบแห่ง เมล็ดข้าวโพด เพื่อศึกษาอิทธิพลของความเร็วลมร้อน



ศูนย์วิทยทรัพยากร
จุฬาลงกรณ์มหาวิทยาลัย

***** NECESSARY DATA INPUT *****

DIMENSION OF DRYER

HL(M) = 0.500000D 00

AREA(M**2) = 0.200000D 01

PROPERTIES OF SOLID

CPS(KJ/KG DRY SOLID/ C) = 0.1122D 01
WC(D.B.) = 0.600000D 00

CPW(KJ/KG WATER/ C) = 0.4187D 01
WE(D.B.) = 0.494000D-01

PROPERTIES OF AIR

CPA(KJ/KG DRY AIR/ C) = 0.1005D 01

CPV(KJ/KG WATER VAP./ C) = 0.1926D 01

CONDITIONS OF DRYING

DEG(M) = 0.600000D-02
SPAREA(M**2/M**3) = 0.784120D 03
TSD(C) = 0.300000D 02
N(-) = B

ESP = 0.400000D 00
SX(KG DRY SOLID/M**3) = 0.557000D 03
WGAVE(D.B.) = 0.200000D 00

TFA(C) = 0.300000D 02
VEL(M/HR) = 1518, 2160, 2880
HI = 0.200000D-01
TAIO(C) = 0.600000D 02

HFA = 0.200000D-01
R(-) = 0.0, 0.33, 1.0, 2.0, 3.0
HIO = 0.200000D-01
HVS(KJ/KG WATER) = 0.2491D 04

MASS & HEAT TRANSFER BY UNIT VOL.

CKA(KG WATER/(H.M**3.HR)) = 0.3587030D 06

HCA(KJ/(M**3 HR C) = 0.273398D 06, 0.32872D 06, 0.37846D 06

ENERGY CONSUMPTION

QTOT(KJ) = 0.0000D 00

QZ(KJ) = 0.0000D 00

TIME TO BEGIN RUNNING

RT(HR) = 0.250000D 00

STEP TO INTEGRATE

TDT(SEC) = 0.750000D-02

STEP TO PRINT RESULTS

JTPRT = 40000

STEP TO MIXING SOLID IN BED

CONDITION TO STOP RUNNING

WSTOP(D.B.) = 0.137000D 00

TSTOP(HR) = 0.250000D 01

***** SETTING UP CALCULATION *****
NM(-) = 32
VOLB(M**3) = 0.100000D 01
DT(HR) = 0.2083333D-03
RHFA(KG FRESH AIR/M**3) = 0.1130048D 01
CMFA(KG FRESH AIR/HR) = 0.6507075D 04
HFG(KJ/KG WATER) AT 30 C = 0.2431D 04

GN(-) = 0.800D 01
CMDS(KG DRY SOLID) = 0.557000D 03
CMFAO(KG FRESH AIR/HR) = 0.6507075D 04
CMF(KG FRESH AIR/(M**3.HR)) = 0.5207260D 05

(I) $V_{bed} = 0.4634 \text{ m/s}$

r = 0						r = 0.33						r = 1					
TIME (MIN)	Wave (O.B.)	Rave	Qheater (KJ)	Wave (O.B.)	Rave	Qheater (KJ)	Wave (O.B.)	Rave	Qheater (KJ)	Wave (O.B.)	Rave	Qheater (KJ)	Wave (O.B.)	Rave	Qheater (KJ)		
0	0.2000	0.0000	0.00E+00	0.2000	0.0000	0.00E+00	0.2000	0.0000	0.00E+00	0.2000	0.0000	0.00E+00	0.2000	0.0000	0.00E+00		
15	0.1837	0.0650	2.68E+04	0.1855	0.0579	2.63E+04	0.1881	0.0475	2.53E+04	0.1981	0.0475	2.53E+04	0.1981	0.0475	2.53E+04		
30	0.1670	0.0670	5.37E+04	0.1595	0.0642	5.25E+04	0.1732	0.0595	4.97E+04	0.1732	0.0595	4.97E+04	0.1732	0.0595	4.97E+04		
45	0.1470	0.0800	8.05E+04	0.1506	0.0755	7.84E+04	0.1562	0.0681	7.37E+04	0.1562	0.0681	7.37E+04	0.1562	0.0681	7.37E+04		
60	0.1306	0.0658	1.07E+05	0.1348	0.0633	1.05E+05	0.1415	0.0589	9.81E+04	0.1415	0.0589	9.81E+04	0.1415	0.0589	9.81E+04		
75	-----	-----	-----	-----	-----	-----	-----	-----	-----	-----	-----	-----	-----	-----	-----		
90	-----	-----	-----	-----	-----	-----	-----	-----	-----	-----	-----	-----	-----	-----	-----		

r = 2						r = 3									
TIME (MIN)	Wave (O.B.)	Rave	Qheater (KJ)	Wave (O.B.)	Rave	Qheater (KJ)	Wave (O.B.)	Rave	Qheater (KJ)	Wave (O.B.)	Rave	Qheater (KJ)	Wave (O.B.)	Rave	Qheater (KJ)
0	0.2000	0.0000	0.00E+00	0.2000	0.0000	0.00E+00	0.2000	0.0000	0.00E+00	0.2000	0.0000	0.00E+00	0.2000	0.0000	0.00E+00
15	0.1907	0.0373	2.41E+04	0.1923	0.0308	2.33E+04	0.1923	0.0308	2.33E+04	0.1923	0.0308	2.33E+04	0.1923	0.0308	2.33E+04
30	0.1773	0.0536	4.62E+04	0.1802	0.0485	4.36E+04	0.1802	0.0485	4.36E+04	0.1802	0.0485	4.36E+04	0.1802	0.0485	4.36E+04
45	0.1623	0.0598	6.77E+04	0.1567	0.0537	6.32E+04	0.1567	0.0537	6.32E+04	0.1567	0.0537	6.32E+04	0.1567	0.0537	6.32E+04
60	0.1489	0.0538	8.98E+04	0.1542	0.0500	8.33E+04	0.1542	0.0500	8.33E+04	0.1542	0.0500	8.33E+04	0.1542	0.0500	8.33E+04
75	0.1338	0.0603	1.11E+05	0.1407	0.0542	1.03E+05	0.1407	0.0542	1.03E+05	0.1407	0.0542	1.03E+05	0.1407	0.0542	1.03E+05
90	0.1205	0.0530	1.39E+05	0.1284	0.0491	1.23E+05	0.1284	0.0491	1.23E+05	0.1284	0.0491	1.23E+05	0.1284	0.0491	1.23E+05

(II) $V_{bed} = 0.6594 \text{ m/s}$

TIME (MIN)	r = 0			r = 1			r = 2		
	Wave (D.B.)	Rave	Qheater (KJ)	Wave (D.B.)	Rave	Qheater (KJ)	Wave (D.B.)	Rave	Qheater (KJ)
0	0.2000	0.0000	0.00E+00	0.2000	0.0000	0.00E+00	0.2000	0.0000	0.00E+00
10	0.1847	0.0918	2.55E+04	0.1889	0.0664	2.40E+04	0.1914	0.0516	2.29E+04
20	0.1687	0.0939	5.09E+04	0.1747	0.0857	4.72E+04	0.1787	0.0765	4.38E+04
30	0.1527	0.0946	7.64E+04	0.1605	0.0852	7.03E+04	0.1660	0.0761	6.47E+04
40	0.1323	0.1015	1.02E+05	0.1436	0.1010	9.29E+04	0.1513	0.0882	8.48E+04
50	0.1170	0.0996	1.27E+05	0.1297	0.0935	1.16E+05	0.1385	0.0765	1.06E+05
60	0.1018	0.0982	1.53E+05	0.1160	0.0925	1.39E+05	0.1260	0.0752	1.27E+05
70									
72.97									

TIME (MIN)	r = 4		
	Wave (D.B.)	Rave	Qheater (KJ)
0	0.2000	0.0000	0.00E+00
10	0.1940	0.0962	2.19E+04
20	0.1835	0.0627	3.97E+04
30	0.1728	0.0643	5.74E+04
40	0.1607	0.0729	7.42E+04
50	0.1495	0.0669	9.17E+04
60	0.1387	0.0648	1.09E+05
70	0.1265	0.0732	1.26E+05
72.97	0.1232	0.0673	1.31E+05

ภาคผนวก ช.2.4

ผลการชี้มูลเหตุการอบแห้งเมล็ดข้าวโพด เพื่อศึกษาอิทธิพลของช่วงห่างของเวลา
ในการผสมวัสดุในเบค



ศูนย์วิทยทรัพยากร
จุฬาลงกรณ์มหาวิทยาลัย

***** NECESSARY DATA INPUT *****

DIMENSION OF DRYER

HL(M) = 0.500000D 00

AREA(M**2) = 0.200000D 01

PROPERTIES OF SOLID

CP5(KJ/KG DRY SOLID/ C) = 0.1122D 01
WC(D.B.) = 0.600000D 00

CPW(KJ/KG WATER/ C) = 0.4187D 01
WE(D.B.) = 0.474000D-01

PROPERTIES OF AIR

CPA(KJ/KG DRY AIR/ C) = 0.1005D 01

CPV(KJ/KG WATER VAP./ C) = 0.1926D 01

CONDITIONS OF DRYING

DEG(M) = 0.600000D-02
SPAREA(M**2/M**3) = 0.7841200D 03
TSD(C) = 0.300000D 02
N(-) = 8

ESP = 0.400000D 00
SX(KG DRY SOLID/M**3) = 0.557000D 03
WOAVE(D.B.) = 0.200000D 00

TFA(C) = 0.300000D 02
VEL(M/HR) = 1518, 2160, 2880
HI = 0.200000D-01
TAIO(C) = 0.600000D 02

MFA = 0.200000D-01
R(-) = 0.0, 0.33, 1.0, 2.0, 3.0
HIO = 0.200000D-01
HVS(KJ/KG WATER) = 0.2491D 04

MASS & HEAT TRANSFER BY UNIT VOL.

CKA(KG WATER/(H.M**3.HR)) = 0.3587030D 06

HCA(KJ/(M**3 HR C) = 0.273398D 06, 0.32872D 06, 0.37846D 06

ENERGY CONSUMPTION

QIOT(KJ) = 0.0000D 00

QZ(KJ) = 0.0000D 00

TIME TO BEGIN RUNNING

RT(HR) = 0.250000D 00

STEP TO INTEGRATE

TDT(SEC) = 0.750000D-02

STEP TO PRINT RESULTS

JTPRT = 40000

STEP TO MIXING SOLID IN BED

CONDITION TO STOP RUNNING

WSTOP(D.B.) = 0.137000D 00

TSTOP(HR) = 0.250000D 01

***** SETTING UP CALCULATION *****

NM(-) = 32
VOLB(M**3) = 0.100000D 01
DT(HR) = 0.208333D-03
RHFA(KG FRESH AIR/M**3) = 0.1130048D 01
CMFA(KG FRESH AIR/HR) = 0.6509075D 04
HFG(KJ/KG WATER) AT 30 C = 0.2431D 04

GN(-) = 0.800D 01
CMDS(KG DRY SOLID) = 0.557000D 03
CMFAO(KG FRESH AIR/HR) = 0.6509075D 04
CMF(KG FRESH AIR/(M**3.HR)) = 0.5207260D 03

(I) $V_{bed} = 0.4634$ m/s, Mixing interval 8,15,30 and ∞ min.

TIME (MIN)	8/60			15/60			30/60			∞				
	Wave (D.B.)	Rave	Qheater (KJ)	Wave (D.B.)	Rave	Qheater (KJ)	Wave (D.B.)	Rave	Qheater (KJ)	Wave (D.B.)	Rave	Qheater (KJ)		
0	0.2000	0.0000	0.0000	0.2000	0.0000	0.00E+00	0.2000	0.0000	0.00E+00	0.2000	0.0000	0.00E+00		
5				0.1965	0.0416	8.95E+03								
8	0.1921	0.0591	1.43E+04				0.1897	0.0617	1.79E+04					
10				0.1897	0.0617	1.79E+04								
15				0.1838	0.0650	2.68E+04				0.1838	0.0650	2.68E+04		
16	0.1824	0.0659	2.86E+04											
20				0.1775	0.0675	3.58E+04		0.1779	0.0663	3.58E+04				
24	0.1727	0.0682	4.30E+04											
25				0.1715	0.0684	4.47E+04								
30				0.1658	0.0685	5.37E+04		0.167	0.066	5.37E+04		0.1670	0.0660	5.37E+04
32	0.1630	0.0693	5.73E+04											
35				0.1593	0.0699	6.26E+04								
40	0.1533	0.0700	7.16E+04		0.1533	0.0701	7.16E+04		0.1529	0.0707	7.16E+04			
45				0.1474	0.0701	8.05E+04					0.1503	0.0663	8.05E+04	
48	0.1436	0.0705	8.59E+04											
50				0.1409	0.0709	8.95E+04		0.1416	0.0701	8.95E+04				
55				0.1350	0.0709	9.84E+04								
56	0.1339	0.0708	1.00E+05											
60	-----	-----	-----	0.1293	0.0707	1.07E+05		0.1306	0.0694	1.07E+05		0.1335	0.0666	1.07E+05
75												0.1166	0.0667	1.34E+05
90												0.0997	0.0669	1.61E+05
105												0.0829	0.0669	1.88E+05
120												0.0666	0.0667	2.15E+05
126.7												0.0604	0.0661	2.27E+05

(II) $V_{bed} = 0.6594$ m/s, Mixing interval 8,15,30 and ∞ min.

TIME (MIN)	8/60			15/60			30/60			∞		
	Wave (D.B.)	Rave	Qheater (KJ)	Wave (D.B.)	Rave	Qheater (KJ)	Wave (D.B.)	Rave	Qheater (KJ)	Wave (D.B.)	Rave	Qheater (KJ)
0	0.2000	0.0000	0.00E+00	0.2000	0.0000	0.00E+00	0.2000	0.0000	0.00E+00	0.2000	0.0000	0.00E+00
4	0.1949	0.0771	1.02E+04	0.1932	0.0817	1.27E+04						
5												
8	0.1881	0.0893	2.04E+04	0.1847	0.0919	2.55E+04	0.1847	0.0918	2.55E+04	0.1847	0.0918	2.55E+04
10												
12	0.1811	0.0945	3.06E+04	0.1764	0.0944	3.82E+04						
15												
16	0.1743	0.0964	4.07E+04	0.1671	0.0937	5.09E+04	0.1687	0.0939	5.09E+04	0.1687	0.0939	5.09E+04
20	0.1673	0.0981	5.09E+04									
24	0.1605	0.0988	6.11E+04	0.1587	0.0992	6.37E+04						
25												
28	0.1535	0.0997	7.13E+04	0.1507	0.0987	7.64E+04	0.1527	0.0946	7.64E+04	0.1527	0.0946	7.64E+04
30												
32	0.1467	0.0999	8.15E+04	0.1409	0.1013	8.91E+04						
35												
36	0.1396	0.1006	9.17E+04				0.1323	0.1015	1.02E+05	0.1366	0.0951	1.02E+05
40	0.1329	0.1006	1.02E+05	0.1326	0.1011	1.02E+05						
45	-----	-----	-----	0.1250	0.1000	1.15E+05	0.1170	0.0996	1.27E+05	0.1207	0.0952	1.27E+05
50												
55												
60							0.1018	0.0982	1.53E+05	0.1048	0.0952	1.53E+05
70										0.0891	0.0951	1.78E+05
80										0.0736	0.0948	2.04E+05
89.1										0.0604	0.0940	2.27E+05

(III) $v_{bed} = 0.8792$ m/s, Mixing interval 8,15,30 and ∞ min.

TIME (MIN)	8/60			15/60			30/60			∞		
	Wave (D.B.)	Rave	Qheater (KJ)	Wave (D.B.)	Rave	Qheater (KJ)	Wave (D.B.)	Rave	Qheater (KJ)	Wave (D.B.)	Rave	Qheater (KJ)
0	0.2000	0.0000	0.0000	0.2000	0.0000	0.00E+00	0.2000	0.0000	0.00E+00	0.2000	0.0000	0.00E+00
4	0.1927	0.1103	1.36E+04	0.1904	0.1154	1.70E+04	0.1904	0.1154	1.70E+04	0.2000	0.0000	0.00E+00
5				0.1904	0.1154	1.70E+04	0.1904	0.1154	1.70E+04			
8	0.1836	0.1231	2.72E+04	0.1791	0.1252	3.40E+04	0.1791	0.1252	3.40E+04	0.1791	0.1252	3.40E+04
10				0.1791	0.1252	3.40E+04	0.1791	0.1252	3.40E+04	0.1791	0.1252	3.40E+04
12	0.1742	0.1289	4.07E+04	0.1686	0.1254	5.09E+04	0.1686	0.1254	5.09E+04			
15				0.1686	0.1254	5.09E+04	0.1686	0.1254	5.09E+04			
16	0.1652	0.1305	5.43E+04	0.1554	0.1337	6.79E+04	0.1578	0.1266	6.79E+04	0.1578	0.1266	6.79E+04
20	0.1558	0.1327	6.79E+04	0.1554	0.1337	6.79E+04	0.1578	0.1266	6.79E+04	0.1578	0.1266	6.79E+04
24	0.1468	0.1329	8.35E+06	0.1445	0.1333	8.49E+04	0.1474	0.1261	8.49E+04			
25				0.1445	0.1333	8.49E+04	0.1474	0.1261	8.49E+04			
28	0.1373	0.1343	9.51E+04	0.1342	0.1317	1.02E+05	0.1366	0.1268	1.02E+05	0.1366	0.1268	1.02E+05
30				0.1342	0.1317	1.02E+05	0.1366	0.1268	1.02E+05	0.1366	0.1268	1.02E+05
32	0.1285	0.1340	1.09E+05									
40												
50										0.1155	0.1268	1.36E+05
60										0.0944	0.1267	1.70E+05
66.89										0.0737	0.1263	2.04E+05
										0.0604	0.1252	2.27E+05

ศูนย์วิทยทรัพยากร
จุฬาลงกรณ์มหาวิทยาลัย



ประวัติผู้เขียน

นายชาติร์ เจียรมิ่งขวัญ เกิดเมื่อวันที่ 2 มกราคม 2505 ที่ กรุงเทพฯ สำเร็จการศึกษาได้รับปริญญาวิทยาศาสตรบัณฑิต (สาขาฟิสิกส์) จากคณะวิทยาศาสตร์ มหาวิทยาลัยมหิดล พ.ศ.2526 และเข้าศึกษาต่อในระดับปริญญาโทบัณฑิต ภาควิชาวิศวกรรมเคมี บัณฑิตวิทยาลัย จุฬาลงกรณ์มหาวิทยาลัย ในปี พ.ศ.2527



ศูนย์วิทยทรัพยากร
จุฬาลงกรณ์มหาวิทยาลัย